

SERIE ASTRONÓMICA
(Antes Publicaciones)

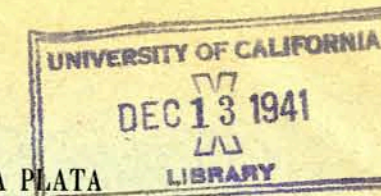
- I. **W. J. Hussey**, Descripción general del Observatorio, su posición geográfica y observaciones de Cometas y de Estrellas Dobles (1914). (Agotado).
- II. **Félix Aguilar**, Resultado de las observaciones en la Zona -57° a -61° con el Círculo Meridiano Gauthier, durante el año 1914 (1916).
- III. **Pablo T. Delavan**, Resultado de las observaciones en la Zona -52° a -56° , durante los años 1913, 1914 y 1915.
Félix Aguilar, Resultado de las observaciones en la Zona -57° a -61° , durante el año 1915 (1916).
- IV. **Bernhard H. Dawson**, Resultado de las observaciones con la Ecuatorial de 433 milímetros de abertura, efectuadas de 1912 a 1917 (1918).
- IV. **Bernhard H. Dawson**, Resultado de las observaciones con la Ecuatorial de 433 milímetros de abertura, efectuadas de 1918.0 a 1921.5 (1922).
- V. **Pablo T. Delavan**, Catálogo La Plata A de 7412 Estrellas de declinaciones comprendidas entre -52° y -57° (1875) para el equinoccio 1925 (1919).
- VI. **Hugo A. Martínez**, Determinación de la órbita del Planeta (796) Sarita (1920).
- VI. **Numa Tapia**, Medidas micrométricas de Estrellas Dobles y Vecinas (1921).
- VI. **Bernhard H. Dawson**, Elementos de la Estrella Variable SV Centauri (1921).
- VI. **Bernhard H. Dawson**, Errores de trazo del Círculo Meridiano Gauthier (1925).
- VI. **Juan Hartmann**, Nueva determinación de la Longitud geográfica (1928).
- VII. **Félix Aguilar y Bernhard H. Dawson**, Catálogo La Plata B de 7792 Estrellas de declinaciones comprendidas entre -57° y -62° (1875) para el equinoccio 1925 (1929).
- VIII. **Hugo A. Martínez**, Catálogo La Plata C de 4412 Estrellas entre 62° y 66° declinación austral (1875) para el equinoccio 1925 (1924).
- IX. **Virginio Manganiello**, Catálogo La Plata D de 4513 Estrellas entre $65^{\circ}50'$ y $72^{\circ}10'$ de declinación austral (1875) para el equinoccio 1925 (1936).
- X. (Catálogo La Plata E. Zona -72° a -82° , en preparación.)
- XI. **Hugo A. Martínez**, Estrellas Kapteyn (1927).
- XI. **Hugo A. Martínez**, Estrellas Eros (1933).
- XI. **Hugo A. Martínez**, Estrellas de Latitud (1933).
- XII. **Hugo A. Martínez**, 2123 Estrellas del Catálogo de Boss, comprendidas entre -15° y -80° (1936).

SERIE GEOFÍSICA
(Antes Contribuciones Geofísicas)

- I. **Juan Hartmann**, Reorganización del servicio sísmico en La Plata, y observaciones sísmicas efectuadas en los años 1922 a 1924 (1926).
- I. **P. A. Loos**, Los terremotos del 17 de diciembre de 1920 en Costa de Araujo, Lavalle, La Central, Tres Porteñas, etc. (1926).
- I. **Federico Lúnkenheimer**, Resultados sísmométricos de los años 1907 a 1922 (1927).
- II. **Federico Lúnkenheimer**, Resultados sísmométricos del año 1925 (1927).
- II. **P. A. Loos**, El terremoto argentino-chileno del 14 de abril de 1927 (1928).
- II. **Juan Hartmann**, Dos aparatos para facilitar la determinación de los epicentros sísmicos (1928).
- II. **Federico Lúnkenheimer**, Método mecánico-gráfico para determinar el epicentro en base de tres observaciones de P (1928).
- II. **Federico Lúnkenheimer**, Elementos nuevos para la determinación de los epicentros (1928).
- III. **Federico Lúnkenheimer**, Resultados sísmométricos del año 1926 (1929).
- III. **Federico Lúnkenheimer**, El terremoto sudmendocino del 30 de mayo de 1929 (1930).
- III. **Federico Lúnkenheimer**, Resultados sísmométricos del año 1927 (1931).
- IV. **Federico Lúnkenheimer**, Resultados sísmométricos del año 1928 (1933).
- IV. **Federico Lúnkenheimer**, Las fluctuaciones de las manchas solares y la sismicidad general de la tierra (1934).
- IV. **Federico Lúnkenheimer**, El período anual de la sismicidad general de la tierra (1934).
- IV. **Federico Lúnkenheimer**, Resultados sísmométricos del año 1929 (1934).
- V. **Federico Lúnkenheimer**, Resultados sísmométricos del año 1930 (1936).
- V. **Federico Lúnkenheimer**, Método numérico para el cálculo de epicentros en base de tres horas de P (1936).
- V. **Federico Lúnkenheimer**, Resultados sísmométricos del año 1931 (1936).
- V. **Federico Lúnkenheimer**, Resultados sísmométricos del año 1932 (1937).
- VI. **Federico Lúnkenheimer**, Resultados sísmométricos del año 1933 (1937).

SERIE GEODÉSICA

- I. **Félix Aguilar**, Reparación del aparato cuadripéndular Askania N° 81952 del Instituto Geográfico Militar y determinación de los coeficientes de densidad y de temperatura de los péndulos de Invar (1936).



RESULTADOS SISMOMÉTRICOS

DEL AÑO 1933

POR EL

DR. FEDERICO LÚNKENHEIMER

Jefe de Departamento y Profesor de Geofísica en el Observatorio Astronómico



LA PLATA
OBSERVATORIO ASTRONÓMICO

1937

OBSERVATORIO ASTRONÓMICO DE LA UNIVERSIDAD NACIONAL DE LA PLATA

DIRECTOR : ING° FÉLIX AGUILAR

SERIE GEOFÍSICA (Antes Contribuciones Geofísicas). — Tomo VI, N° 1

RESULTADOS SISMOMÉTRICOS

DEL AÑO 1933

POR EL

DR. FEDERICO LÚNKENHEIMER

Jefe de Departamento y Profesor de Geofísica en el Observatorio Astronómico



LA PLATA

OBSERVATORIO ASTRONÓMICO

1937

UNIVERSIDAD NACIONAL DE LA PLATA

(1937)

PRESIDENTE

INGENIERO JULIO R. CASTIÑEIRAS

VICEPRESIDENTE

DOCTOR HÉCTOR DASSO

SECRETARIO GENERAL

ABOGADO BERNARDO ROCHA

Consejeros titulares : DOCTOR ORESTE ADORNI, INGENIERO FÉLIX AGUILAR, DOCTOR VÍCTOR M. ARROYO, DOCTOR EDUARDO BLOMBERG, INGENIERO AGRÓNOMO SANTIAGO BOAGLIO, DOCTOR ALFREDO D. CALCAGNO, DOCTOR HÉCTOR DASSO, DOCTOR JOAQUÍN FRENGUELLI, DOCTOR EDUARDO GIUFFRÀ, INGENIERO ENRIQUE HUMET, DOCTOR HILARIO MAGLIANO, DOCTOR ANTONIO G. PEPE, DOCTOR JUAN CARLOS RÉBORA, PROFESOR FRANCISCO ROMERO, INGENIERO AGRÓNOMO SANTOS SORIANO, PROFESOR MILCIADES ALEJO VIGNATI, DOCTOR ENRIQUE V. ZAPPI.

Consejeros suplentes : DOCTOR LEÓNIDAS ANASTASI, INGENIERO EVARISTO ARTAZA, PROFESOR RAFAEL ALBERTO ARRIETA, DOCTOR ANGEL BIANCHI LISCHETTI, DOCTOR ANGEL CABRERA, DOCTOR JORGE C. DURRIEU, INGENIERO ANTONIO ESCUDERO, DOCTOR LUIS J. GUERRERO, DOCTOR FAUSTINO J. LEGÓN, DOCTOR NATALIO LOGIUDICE, INGENIERO AGRÓNOMO JUAN C. LINDQUIST, INGENIERO AGRÓNOMO JUAN B. MARCHIONATTO, DOCTOR GUIDO PACELLA, INGENIERO AGRÓNOMO LORENZO R. PARODI, DOCTOR ABEL ROTTGARDT, DOCTOR TRIFÓN UGARTE.

Representantes de los alumnos. Titulares : SEÑORES EZEQUIEL ORTEGA y EUGENIO ZUBASTI.

OBSERVATORIO ASTRONOMICO

DIRECTOR

INGENIERO FÉLIX AGUILAR

SECRETARIO

AGRIMENSOR CARLOS ALBARRACÍN SARMIENTO

Profesores Extraordinarios de la Escuela Superior de Ciencias Astronómicas y Geodésicas : INGENIERO FÉLIX AGUILAR, DOCTOR BERNARDO H. DAWSON, INGENIERO VIRGINIO MANGANIello, INGENIERO ESTEBAN TERRADAS, DOCTOR ALEXANDER WILKENS.

Extraordinario-Adjunto : INGENIERO SIMÓN GERSHÁNIK

PERSONAL CIENTÍFICO Y TÉCNICO

Jefes de Departamento : DOCTOR BERNARDO H. DAWSON, INGENIERO VIRGINIO MANGANIello, INGENIERO NUMA TAPIA, INGENIERO ESTEBAN TERRADAS, DOCTOR ALEXANDER WILKENS.

Astrónomo de Primera : AGRIMENSOR HUGO A. MARTÍNEZ.

Astrónomos de Tercera : INGENIERO MIGUEL A. AGABIOS, DOCTOR REINALDO P. CESCO.

Geofísico de Segunda : INGENIERO ENRIQUE LEVIN.

Geofísico de Tercera : INGENIERO SIMÓN GERSHÁNIK.

Ayudantes Astrónomos : SEÑOR MARTÍN DARTAYET, SEÑOR SILVIO MANGANIello.

Calculistas : SEÑOR CARLOS U. CESCO, SEÑOR JORGE A. GARBARINO, SEÑOR JOSÉ MATEO.

Calculistas Ayudantes : SEÑORITA GUILLERMINA MARTÍN, SEÑORITA MARÍA DEL CARMEN GUILLÉN, SEÑOR RICARDO L. LASSALLE, SEÑOR MIGUEL ITZIGSOHN, SEÑOR TOMÁS LYNCH DILLON, SEÑOR ANGEL A. BALDINI.

Preparador de sismología : SEÑOR JULIO LENZI.

Mecánico especialista : SEÑOR GREGORIO PLOTNIKOFF.

RESULTADOS SISMOMÉTRICOS

DEL AÑO 1933

Reseña

Respecto al funcionamiento general de los sismógrafos, la redacción y distribución del *Boletín Sismológico*, etc., véase lo dicho en el tomo anterior.

Fué publicado en el transcurso del año : tomo IV, 1 de las *Contribuciones Geofísicas*, doctor Federico Lúnkenheimer, *Resultados Sismométricos del año 1928*, y preparados, respectivamente terminados, los manuscritos de :

Resultados Sismométricos del año 1929;

Las Fluctuaciones de las Manchas Solares y la Sismicidad General de la Tierra, y

El período anual de la Sismicidad General de la Tierra

aparecidos, mientras tanto, como números 4, 2 y 3 del tomo IV de las *Contribuciones Geofísicas*.

Observaciones

El total de los movimientos sísmicos registrados durante el año 1933, fué de 104. En cuanto a la distribución de esta cantidad sobre los diferentes meses del año, he aquí el cuadro ilustrativo :

Mes de	Movimientos sísmicos registrados	Mes de	Movimientos sísmicos registrados
Enero.....	12	Julio.....	5
Febrero.....	5	Agosto.....	10
Marzo.....	12	Septiembre.....	6
Abril.....	8	Octubre.....	11
Mayo.....	6	Noviembre.....	13
Junio.....	7	Diciembre.....	9

Clasificando estos fenómenos con arreglo a la ubicación de sus respectivos focos, se nos ofrece el cuadro siguiente (los números se refieren a la tabla I, págs. 8 y sigs.):

Fueron observados con epicentro en :	Cantidad
1. La Cordillera chileno-argentina y el Pacífico, cerca de la costa chilena, S del paralelo 35° : N ^{os} 1, 10, 76, 77, 103.....	5
2. La Cordillera chileno-argentina y el Pacífico, cerca de la costa chilena, entre 35° S y 25° S : N ^{os} 4, 9, 12, 13, 14, 15, 16, 18, 29, 32, 41, 44 ¹ , 45, 46, 51, 57, 58, 61, 62, 68, 70, 79, 87, 99, 102.....	25
3. La Cordillera chileno-argentino-boliviana y el Pacífico, cerca de la costa chilena, N del paralelo 25° S : N ^{os} 17, 31, 37, 60, 65, 78, 80, 83.....	8
4. La Sierra de Córdoba : N ^o 49.....	1
5. La Cordillera (la mayor parte de los fenómenos), el Pacífico cerca de Chile, o la Sierra de Córdoba (sin posibilidad de precisar el epicentro) : N ^{os} 21, 35, 56, 82, 98....	5
6. El Perú y el Pacífico cerca de la costa peruana : N ^{os} 54, 55, 59, 72.....	4
7. El Pacífico, a mayor distancia de la costa chilena : N ^{os} 67, 75.....	2
8. Ecuador y Colombia : N ^{os} 73, 74, 84, 85, 86.....	5
9. América Central y Océanos lindantes : N ^{os} 39, 90, 91, 92, 94, 95.....	6
10. Méjico y Océanos lindantes : N ^{os} 30, 40, 101.....	3
11. El Sud-Atlántico : N ^{os} 28, 52, 64, 97.....	4
12. La región subantártica al S del continente sudamericano : N ^o 81.....	1
13. El Atlántico Central : N ^o 43.....	1
14. El Mediterráneo : N ^o 23.....	1
15. El Índico : N ^o 8.....	1
16. La India : N ^o 5.....	1
17. Las Islas de la Sonda, Molucas y Filipinas : N ^{os} 27, 50.....	2
18. Nueva Guinea, Nueva Britania y demás islas de la Oceanía : N ^{os} 6, 11, 24, 33, 66, 88, 100.....	7
19. China : N ^o 63.....	1
20. El Japón y océanos vecinos : N ^{os} 3, 20, 22, 48.....	4
21. Kamtchatka, Islas Aleucianas y Alaska : N ^{os} 2, 26, 36, 53.....	4
22. Bahía Ballín : N ^o 89.....	1
23. Sud-Pacífico : N ^{os} 7, 34, 96.....	3
24. Regiones que no es posible precisar : N ^{os} 19, 25, 38, 42, 47, 69, 71, 93, 104.....	9

Hubo este año algunos temblores — los N^{os} 14, 45, 87 y 102 — que sacudieron el suelo argentino, pero todos ellos fueron débiles y no causaron perjuicio alguno. Fué sentido el N^o 14 en las provincias del Noroeste, los N^{os} 45 y 87 en la provincia de Mendoza y el N^o 102 en las provincias de Mendoza y San Juan.

En cuanto a los temblores chilenos, fué solamente el más fuerte de entre ellos, el N^o 17, que causó algunos perjuicios materiales — en la zona salitrera —, destacándose además los N^{os} 80, 87 y 102 por su relativamente considerable intensidad.

¹ Pertenece tal vez al grupo 1.

Pasando a los demás fenómenos telúricos que tuvieron su epicentro en el continente Sudamericano o en su vecindad, debemos citar el N^o 73, que afectó a la República de Ecuador; los N^{os} 7, 52, 64 y 97, con foco en el Sud-Atlántico, y el N^o 81, producido en la región Subantártica, al S de nuestro continente.

En lo que atañe a los telesismos en el propio sentido, merecen nuestra atención el N^o 8 con epicentro en el Índico, los N^{os} 20 y 48 cuyo escenario fueron las islas japonesas, los N^{os} 50 y 63, destructores en Sumatra y China respectivamente, el N^o 66 con foco en la región de las islas Tonga, Oceanía y el N^o 89 que se produjo en la Bahía Ballín y fué sentido en Groenlandia.

Observaciones auxiliares

Servicio de hora : Véase lo dicho en *Contribuciones Geofísicas*, II, 1, página 8.

Paralaje : Véase *Contribuciones Geofísicas*, III, 1, página 5.

Constantes instrumentales :

	Fecha	Mauka		Vicentini		Wiechert Z
		E	N	E y N	Z	
Masa.....		450 kg	450 kg	105 kg	54 kg	80 kg
Período.....	1/1 — 31/12			2.4	0.9	3.2
	1/1 — 30/1	9.5	9.5			
	31/1 — 5/6	9.3	9.4			
	6/6 — 31/12	9.3	9.3			
Amplificación.....	1/1 — 31/12			275	265	185
	1/1 — 30/1	200	210			
	31/1 — 3/4	210	215			
	4/4 — 5/6	190	215			
	6/6 — 7/11	185	215			
	8/11 — 31/12	190	215			
Amortiguamiento.....	1/1 — 4/4			—	—	3.0
	5/4 — 31/12			—	—	2.9
	1/1 — 30/1	4.7	5.0			
	31/1 — 3/4	2.7	2.7			
	4/4 — 5/6	4.5	4.0			
	6/6 — 3/8	4.2	3.6			
	4/8 — 7/11	3.6	3.4			
	8/11 — 31/12	4.0	4.0			
Roce.....	1/1 — 31/12	0.05-0.10 cm		0.01-0.03 cm		0.02-0.05 cm
Velocidad del tambor ..	1/1 — 31/12	10-15 mm/min		9-11 mm/min		9-11 mm/min

Explicación de las tablas

Véase lo dicho en *Contribuciones Geofísicas*, III, 3, páginas 162-163.

TABLA I
Terremotos observados durante el año 1933

Fecha y número	Componente	Fase	Hora	Período	Amplitud		Notas sobre las fases	Carácter de P y Notas sobre el epicentro	
					Aparente	Absol.			
			h m	c	mm	μ			
En. 3 1	E	cP	10 57.1	5	0.2; m 0.4		Serie.		
		S	11 00.99	13	0.3		Algunas ondas.	La Paz P 58 ^m 62 S 04.28	
		L	03	13	0.3	1	No se destaca bien.	Santiago *00	
		M	05.99	10	+0.5	2	Entre 6 ondas.	Huancayo e 03.8 L 05.4	
		M	06.92	10	+0.4	2	Entre ~ 4 ondas.	O: 10 ^h Δ km.	
		F	20					La Plata 51 ^m 88 2490	
En. 4 2	E	N	10 57.00	5	0.2		7 ondas.	La Paz 51.34 4010	
		S	11 00.98	13 y 22	0.4 y 0.3		2 ondas; no se destaca con claridad.	Ep. apr. (Δ La Plata, La Paz): 79° W, 52° S; Océano Pacífico cerca de la costa S chilena.	
		M	02.0	18	0.2	1	Serie.		
		M	05.05	14	-0.2	1	Entre ~ 5 ondas; poco después insignificante.		
		F	20						
		F	21						
En. 7 3	E	L	5 25.8	~30	0.1	~2	Nada de concreto.	P: 04 ^h S: 04 ^h	
		M	37.2	28	+0.2	3	Serie débil de T decreciente y A en aumento.	Sitka 01 ^m 32	
		F	6 20				Entre ~ 12 ondas; sin más detalles.	Pasadena 06.10 11 ^m 40	
		L	5 35	~40	<0.1	<3		St. Louis 07.32 13.57	
		F	6 00					O (P Sitka, Pasadena, St. Louis): 03 ^h 59 ^m 03.	
		F	6 00					Ep. (idem): 152°4 W, 60°0 N; Alaska.	
En. 9 4	E	L	1 43.2	~ 5	0.1; m 0.3	~1	Grupo seguido de algunos otros.		
		M	43.39	4	+0.3	1			
		F	46						
		L	1 42.8	~ 5	0.1	<1	Poco claro.		
		M	43.58	5	-0.4	2	Entre 5 ondas fuertes; poco después insignificante.		
		F	44						
En. 9 5	E	P'	2 20.78	5	0.1		Serie.		
		S _c P _c P	23.99	5	0.4		Serie; después gancho 8° y A 0.7 mm.		
		S _c P _c S	27.98	6	0.3		Gancho y serie.		
		S _c P _c P _c S	30.13	7	1.0		Grupo llamativo.		
		PPS	35.6	~13	0.1		Serie.		
		SS	41.7	28	0.2		Algunas ondas.		
En. 15 6	E	L?	3 18.8	~32	<0.1	<2	Algunos indicios.		
		F	45						
		P'	2 20.81	4	0.1		Serie irregular.		
		S _c P _c P	23.99	5	0.3		Ídem.		
		S _c P _c P _c S	30.14	6	0.2		Gancho; después serie.		
		SS	41.53	8 y 17	0.3; m 0.4		Sin más detalles claros.		
En. 7 3	E	L	5 25.8	~30	0.1	~2	Poco claro.		
		M	37.2	28	+0.2	3	Entre 13 ondas.		
		F	6 20						
		L	5 35	~40	<0.1	<3	Indicios.		
		F	6 00						
		F	6 00						

Fecha y número	Componente	Fase	Hora	Período	Amplitud		Notas sobre las fases	Carácter de P y Notas sobre el epicentro	
					Aparente	Absol.			
			h m	c	mm	μ			
En. 7 3	E	L	1 43.2	~ 5	0.1; m 0.3	~1	Grupo seguido de algunos otros.		
		M	43.39	4	+0.3	1			
		F	46						
		L	1 42.8	~ 5	0.1	<1	Poco claro.		
		M	43.58	5	-0.4	2	Entre 5 ondas fuertes; poco después insignificante.		
		F	44						
En. 9 4	E	L	1 43.2	~ 5	0.1; m 0.3	~1	Grupo seguido de algunos otros.		
		M	43.39	4	+0.3	1			
		F	46						
		L	1 42.8	~ 5	0.1	<1	Poco claro.		
		M	43.58	5	-0.4	2	Entre 5 ondas fuertes; poco después insignificante.		
		F	44						
En. 9 5	E	P'	2 20.78	5	0.1		Serie.		
		S _c P _c P	23.99	5	0.4		Serie; después gancho 8° y A 0.7 mm.		
		S _c P _c S	27.98	6	0.3		Gancho y serie.		
		S _c P _c P _c S	30.13	7	1.0		Grupo llamativo.		
		PPS	35.6	~13	0.1		Serie.		
		SS	41.7	28	0.2		Algunas ondas.		
En. 15 6	E	L?	3 18.8	~32	<0.1	<2	Algunos indicios.		
		F	45						
		P'	2 20.81	4	0.1		Serie irregular.		
		S _c P _c P	23.99	5	0.3		Ídem.		
		S _c P _c P _c S	30.14	6	0.2		Gancho; después serie.		
		SS	41.53	8 y 17	0.3; m 0.4		Sin más detalles claros.		
En. 7 3	E	L	5 25.8	~30	0.1	~2	Poco claro.		
		M	37.2	28	+0.2	3	Entre 13 ondas.		
		F	6 20						
		L	5 35	~40	<0.1	<3	Indicios.		
		F	6 00						
		F	6 00						

Fecha y número	Componente	Fase	Hora	Período	Amplitud		Notas sobre las fases	Carácter de P y Notas sobre el epicentro	
					Aparente	Absol.			
			h m	c	mm	μ			
En. 18 7	E	P	8 43.96	6	0.2		Destacándose poco de las μ .	08 ^h	S: 08 ^h
		S?	49.7	8	0.3			La Paz P 45 ^m 98	52 ^m 42
		L	51.4	15	0.7		3 Irregular.	Huancayo e 46.4	54.93
		M	54.53	33	+2.1		40 Con superp. más cortas.	O: 08 ^h	Δ km.
		M	59.57	22	+2.5		20 1 onda llamativa.	La Paz 37 ^m 75	4800
		F	9 50				20 Entre serie difusa.	La Plata P —	3200:
	N	P	8 43.96	5	0.2; m 0.3		Poco claro; entre μ de misma amplitud.	Ep. apr. (Δ La Paz, La Plata): 83° W, 58° S; S del Océano Pacífico.	
		S?	49.1	24	0.4		1 onda; después otras más cortas.		
		L	50.9	~50	1.0	~45/240	3 ondas largas.		
		M	51.75	43	-7.4		13 Entre ~ 8 ondas algo irreg.		
		M	55.69	21	+1.9		14 Entre 2 ondas. Desde 15 ^m 6 bastante débil.		
		M	9 03.36	22	-1.9				
		F	10 00						
		F	8 51.2	~30	<0.1	<15	Algunos indicios.		
En. 21 8	E	P	19 34.12	5	0.5; m 0.8		Serie.	P: 19 ^h	S: 19 ^h
		S	35	4	0.5		Grupo.	Tananarive 25 ^m 22	28 ^m 70
		PS	44.58	21	0.6		Algunas ondas.	Batavia 30.52	38.02
		SS?	46.1	~25	0.6		2 ondas; después ~ 30°.	Bombay 30.60	38.42
		L	51.10	~36	1.0		1 onda acentuada.	Datos poco concordantes.	
		L	57.8	~50	0.6	~30	Irregular.	O apr. (P Tananarive, Batavia, Bombay): 19 ^h 22 ^m 1.	
	N	M	58.65	~70	+1.1	~100	1 onda de cresta aguda.	Ep. apr. (ídem): 58°5 E, 34° S; Índico.	
		M	20 04.85	33	+2.0		40 Entre 20 ondas bastante sinusoidales.	Δ_p km.	Δ_{s-p} km.
		M	03.37	31	+1.0		15 Entre serie difusa. Sigue agitado hasta 39 ^m ; después bastante débil.	Tananarive 2000;	2100
		F	21 50					Batavia 5800;	5930
		P	19 34.14	5	0.3		Serie.	Bombay 6050;	6260
		eS	37.3	13	0.2; m 0.5		~ 5 ondas.	U. S. C. G. S. da O: 19 ^h 21 ^m 18 y Ep.: 59° E, 37° S.	
		PS	44.5	20	0.6; m 1.2		Irregular.		
		PS	46.1	~20	0.6		Algunas ondas; después períodos más largos.		
E	SS?	50.8	~35	1.0; m 1.1		~ 3 ondas.			
	SSS	54.1	43	0.5		~ 2 ondas.			
	L	57.5	40	1.0		30 4 ondas largas.			
	M	20 03.63	~40	-1.8	~50	Entre 5 ondas fuertes.			
	M	06.77	31	-1.0		16 Entre serie difusa. Sigue con A parecidas durante 40 ^m más.			
	F	21 40							

Fecha y número	Componente	Fase	Hora	Período	Amplitud		Notas sobre las fases	Carácter de P y Notas sobre el epicentro	
					Aparente	Absol.			
			h m	c	mm	μ			
En. 21 8	Z	P	19 34.2	5 y 10	0.1		Durante la señal de minuto; con superposiciones más cortas.		
		L	20 02.2	~35	0.1	~25	Sin M acentuada.		
		M	05.92	33	-0.1	20	Entre 15 ondas sinusoidales; después muy débil.		
		F	49						
En. 24 9	E	P	15 05.53	5	0.4		8 ondas claras.	P: 13 ^h	S: 13 ^h
		L	08.1	5	0.3		1 Serie.	Santiago 02 ^m 43	02 ^m 67
		M	08.38	5	+0.7		3 Entre 12 ondas.	Sucre 05.68	—
	N	M	09.07	5	+0.6		3 Entre grupo; decreciendo paulatinamente.	O: 13 ^h	Δ km.
		F	14					Santiago 02 ^m 15	115
		P?	13 05.3	5	0.2; m 0.6		Grupo.	La Plata —	1600:
E	L	08.1	5	0.4		2 Serie.	Sucre 02.3	1500:	
	M	08.50	5	-1.2		5 Entre 4 ondas. Desde 09 ^m 7 débil.	Ep. apr. (Δ Santiago, La Plata, Sucre): 72° W, 32° S; Océano Pacífico, frente a la provincia chilena de Aconcagua.		
	F	12					Sentido en Valparaíso y Curepto, Chile.		
En. 24 10	E	P	14 42.07	5	0.2; m 0.6		Grupo.	P: 14 ^h	S: 14 ^h
		L	45.7	6	0.9		4 Serie.	Santiago 39 ^m 97	40 ^m 22
		M	45.90	5	+1.5		7 Entre grupo; poco después débil.	La Paz 43.50	46.78
		M	46.68	5	+1.8				ó 47.08
	N	F	52					O apr. (P Santiago, La Plata, La Paz): 14 ^h 38 ^m 6.	
		eP	14 42.1	5	0.1-0.2		Serie entre μ .	Ep. apr. (ídem): 75°5 W, 37°0 S; Pacífico, cerca de la costa chilena.	
		S?	44.29	4	0.1; m 0.4		Algunas ondas.	Δ_p km.	Δ_{s-p} km.
		L	45.2	6	0.5		2 Grupo.	Santiago 600;	120
E	M	45.77	5	-2.2		10 Entre 6 ondas.	La Plata 1650;	1350	
	M	46.01	5	-2.2		10 Entre 2 ondas fuertes. Desde 46 ^m 4 débil	La Paz 2400;	1975	
	F	51						ó 2170	
	F	14 44.5	1	0.1		Dudoso.	Sentido en Valparaíso y Curepto, Chile.		
En. 27 11	E	L	23 43.8	~26	0.1	~ 1	Algunas ondas sin M acentuada.	P: 22 ^h	S: 22 ^h
		F	24 25					Wellington 42 ^m 67	(48 ^m 60)
	N	L	23 44	~25	0.2	~ 2	Algunas ondas entre μ .	Riverview 44.15	49.82
		F	24 25					Manila 48.13	57.90
								O (P Wellington, Riverview, Manila): 22 ^h 36 ^m 64.	
								Ep. (ídem): 172°2 W, 16°2 S; Reg. de las islas Samoa, Oceanía.	

Fecha y número	Componente	Fase	Hora	Período	Amplitud		Notas sobre las fases	Carácter de P y Notas sobre el epicentro	
					Aparente	Absol.		Δ_p km.	Δ_{s-p} km.
			h m	c	mm	μ			
En. 27 11									
En. 30 12	E	L	7 40.1	6	0.3	1	Serie.	P: 07 ^h	S: 07 ^h
		M	40.38	4	+0.6	3	Entre 2 ondas fuertes. Desde 42 ^m 4 bastante débil.	Santiago 35 ^m 00	—
		F	44					Sucre 36.62	—
	N	e	7 38.6	~ 2	0.1		Irregular entre μ .	La Paz 37.23	39 ^m 65
		L	39.7	4	0.2	1	Grupo.	O: 07 ^h	Δ km.
		M	40.4	5	-0.8	4	Desde 41 ^m 7 muy débil.	La Paz 34 ^m 18	1400
		F	45					La Plata —	1200:
	Z	L	7 40.1	3	0.1	< 1	Algunos indicios.	Sucre —	1100:
		F	42					Ep. apr. (Δ La Paz, La Plata, Sucre): 69° W, 29° S; límite argentino-chileno, provincias de San Juan y Atacama respectivamente.	
								Sentido en Elqui y Ovalle, Chile.	
Feb. 10 13	E	P	8 49.60	4	0.2; m 0.4		Serie.	P: 08 ^h	S: 08 ^h
		e	50.9	4	0.4; m 0.5		Ídem.	Santiago 48 ^m 48	50 ^m 58
		S?	53.00	8	3.2		Algunas ondas.	La Paz 48.82	—
		L	54.5	5	1.0	4	5 ondas.	O: 08 ^h	Δ km.
		M	54.87	5	-2.8	12	1 onda llamativa.	La Plata L 45 ^m 5	1900:
		M	55.59	5	+2.4	10	Sobre fundamentales 10°. Decreciendo paulatinamente.	Santiago 45.85	1200
								La Paz —	1400:
		F	9 20				Datos poco concordantes.		
	N	P	8 49.62	4	0.4	3	3 ondas, después grupos irreg. Con fundamentales 10°.	Ep. apr. (Δ La Plata, Santiago, La Paz): 75° W, 25° S; Océano Pacífico, frente a la provincia chilena de Antofagasta.	
		e	50.3	5	0.9			Sentido en Taltal y Copiapó, Chile.	
		S?	52.75	5	0.7; m 0.9		Algunas ondas de A creciente.		
		S?	53.02	5	2.0; m 2.1		3 ondas.		
		L	54.5	12	2.0	6	7 ondas con superposiciones 4°.		
		M	54.53	12	-2.0	6			
		M	56.68	5	-2.0	9	Entre otra serie; después decreciendo paulatinamente.		
	Z	F	9 10						
		eP	8 49.6	~ 2	0.1		Serie.		
		L	55.0	4	0.1	< 1	Sin M acentuada.		
		F	9 00						
Feb. 12 14	E	eP	4 39.2	4	0.2		Muy problemático; entre μ .	P: 04 ^h	S: 04 ^h
		L	42.0	~ 8	0.3	~ 1	Serie.	Sucre 38 ^m 07	39 ^m 77
		M	42.44	8 y 4	+2.2	8 y 10	Decreciendo paulatinamente.	La Paz 39.12	42.33
		F	49						

Fecha y número	Componente	Fase	Hora	Período	Amplitud		Notas sobre las fases	Carácter de P y Notas sobre el epicentro	
					Aparente	Absol.		Δ_p km.	Δ_{s-p} km.
			h m	c	mm	μ			
Feb. 12 14	N	eP	4 39.0	~ 5	0.1		Muy problemático.	O: 04 ^h	Δ km
		L	42.0	5	~ 1.2	~ 5	Serie.	Sucre 35 ^m 99	940
		M	42.26	8	-3.1	12		La Paz 35.03	1920
		M	42.75	5	-4.2	18	Entre 3 ondas fuertes; decreciendo paulatinamente.	La Plata 36.5	1150
		F	51				Datos poco concordantes.		
	Z	eP	4 39.1	1	< 0.1		Muy problemático.	Ep. apr. (Δ Sucre, La Plata): 66° W, 27° S; provincia de Tucumán, Argentina.	
		L	42.0	2	0.2	1	Gancho.	Sentido en muchas localidades de las provincias de Tucumán, Salta y Santiago del Estero, Argentina.	
		M	42.29	4	-0.5	2			
		M	42.78	2	-0.6	3	1 onda; poco después débil.		
		F	45						
Feb. 12 15	E	P	20 10.04	4 y 8	0.2		Problemático entre μ .	P: 20 ^h	S: 20 ^h
		L	14.2	5	0.4	2	Serie.	Santiago 08 ^m 93	09 ^m 63
		M	15.41	4	-1.2	5	Desde 15 ^m 7 fundamentales ~ 18° y A ~ 0.6 mm; muy débil desde 17 ^m 0.	La Paz 11.57	14.62
		F	20					O (P Santiago, La Plata, La Paz): 20 ^h 08 ^m 15.	
	N	L	20 14.2	5	0.4	2	6 ondas; después más fuerte.	Ep. (idem): 70°5' W, 30°6' S; provincia de Coquimbo, Chile.	
		M	14.55	5	-2.8	12	Entre 6 ondas, desde 15 ^m 6 fundamentales 13°.	Δ_p km.	Δ_{s-p} km.
		F	22					Santiago 320	340
	Z	L	20 14.6	4	0.1	< 1	~ 5 ondas.	La Plata 1270	1300:
		F	16					La Paz 1580	1795
Feb. 16 16	E	P?	7 09.56	5	0.2		Serie.	P: 07 ^h	S: 07 ^h
		L	12.8	5	0.3	1	Algunas ondas.	Santiago 07 ^m 18	07 ^m 52
		M	13.20	5	-0.7	3	Entre ~ 12 ondas. Desde 15 ^m 1 insignificante.	La Paz 11.00	15.57
		F	17					O: 07 ^h	Δ km.
	N	L	7 12.8	4	0.3	1	Algunas ondas.	Santiago 06 ^m 70	160
		M	13.17	5	-1.2	5	1 onda llamativa.	La Paz 05.12	2965
		M	13.52	4	-1.0	4	Entre serie. Desde 14 ^m 3 débil.	Resultados poco concordantes.	
		F	17					Ep. apr. (Δ Santiago, La Plata): 71° W, 33° S; provincia de Aconcagua, Chile.	
	Z	P?	7 09.7	2	0.1		Muy problem.; podría ser μ .	Sentido en Valparaíso, Petorca, Curepto y Santiago, Chile.	
		L	13.0	2	1.0	5	Sin M acentuada.		
		F	14						
Feb. 23 17	E	P	8 13.37	14	i + 3.5;		2 ondas fuertes.	Condensación.	
		S	16.80	13	m 15.0		Más claro que en N.	P: 08 ^h	S: 08 ^h
		L	19.0	9	13.2	50	Serie de ondas fuertes.	Sucre 09 ^m 58	—
		M	20.53	15	> 72.0	> 200	Fuera del papel.	La Paz 10.47	11 ^m 40
		M	21.07	15	+56	155		Huancayo 11.65	13.47
		M	22.32	13	+46	130		O: 08 ^h	Δ km.
								La Paz 09 ^m 37	480

Fecha y número	Componente	Fase	Hora	Período	Amplitud		Notas sobre las fases	Carácter de P y Notas sobre el epicentro		
					Aparente	Absol.				
Feb. 23 17	E	M	8 25.40	17	+42	135	Después paulat. decreciendo.	Huancayo 09.42 1015		
		F	10 40					La Plata 09.00 2065		
		N	P	8 13.38	14	i-3.8; m 17.5		3 ondas fuertes.	Ep. apr. (Δ La Paz, Huancayo, La Plata): 70°5' W, 20°0' S; provincia de Tarapacá, Chile.	
			S	14.1	20	9.8		2 ondas.	Sentido en la región salitrera y en el mar frente a Iquique por el vapor Cautín.	
		L	16.78	~10	~9		Movimiento violento.			
		M	18.7	10	~21	~55	De A creciente.			
		M	19.58	16	-77	220	1 onda llamativa.			
		M	20.43	17	-76	235	1 onda llamativa.	Causó algunos perjuicios en la zona salitrera.		
		M	21.23	17	-76	235	1 onda llamativa.			
		M	24.20	13	-42	115	1 onda llamativa.			
	M	27.30	13	-30	80	1 onda; decreciendo paulat.		U. S. C. G. S. da Ep.: 70°2' W, 20°7' S; J. S. A. da profundidad del hipocentro: 100 km.		
	Z	F	10 30							
		P	8 13.39	12	+0.2; m 2.0		2 ondas fuertes con superposiciones 5°.			
		eS	16.85	10			Durante la señal de minuto.			
		L	18.9	10	2.6	40	Grupo.			
		M	18.98	10	+5.3	80	Entre ~3 ondas.			
		M	20.48	~15	-6.7	~250	Entre grupo llamativo.			
M		23.05	~14	-3.2	~100					
M	24.32	13	-3.1	90	Después bastante débil.					
F	9 35									
Mar. 1° 18	E	L	6 36.6	6	0.1	< 1/2	Serie.	P: 06 ^h S: 06 ^h		
		M	36.94	6	+0.5			Santiago 31 ^m 87 32 ^m 88		
		F	41					La Paz 34.60 37.27		
	N	L	6 36.7	7	0.5	2		O: 06 ^h Δ km.		
		M	36.96	6	-0.7	3	Después fundamentales 17°.	Santiago 30 ^m 67 525		
		F	42					La Paz 31.27 1540		
							La Plata L - 1200;			
							Ep. apr. (Δ Santiago, La Paz, La Plata): 71° W, 30° S; provincia de Coquimbo, Chile.			
Mar. 1° 19	E	L	17 56.9	40	0.2	55/18	~7 ondas.	No observado en otras estaciones.		
		M	57.87	25 e irr.	+0.2					
		F	18 20							
	N	L	17 55.3	~47	0.1	4	Pocas ondas.			
		M	59.47	~20	-0.3	1	Poco llamativo.			
F	18 50									
Mar. 2° 20	E	P ^{1/2}	17 50.73	~5			De A creciente.	P: 17 ^h S: 17 ^h		
		P ^{1/2}	51.00	7	-0.5; m 5.2		Claro; con fundamentales 14°.	Mizusawa 31 ^m 65 -		
		PP	54.78	14	-6.0		De A rápidamente creciente.	Zikawei 35.58 39 ^m 58		
		e	55.7	13	-5.6; m 17.0		Muy claro; demás lecturas de las prefases no se hacen por la confusión de líneas.	Chiufeng 35.78 39.82		
							O (P Mizusawa, Zikawei, Chiufeng): 17 ^h 30 ^m 35.			

Fecha y número	Componente	Fase	Hora	Período	Amplitud		Notas sobre las fases	Carácter de P y Notas sobre el epicentro		
					Aparente	Absol.				
Mar. 2° 20	E	L	18 41.0	~120	~3	~850	Muy perturbado por las superposiciones 30° y confusión de líneas.	Ep. (idem): 140°8' E, 39°9' N; Océano al S de Yokohama, Japón.		
			50.4	35	11	225	Principio de las ondas sinusoidales.	Δ _p km. Δ _{s-p} km.		
		M	52.08	33	+27.0	485	Entre 8 ondas.	Mizusawa 570 -		
		M	19 04.67	30	+29.2	420	Serie difusa.	Zikawei 2550 2510		
		M	22.35	30	+19.5	280	Ídem. Últimas ondas 25°.	Chiufeng 2675 2540		
		N	P ^{1/2}	17 50.97	8	0.3		Claro.	Destructor en el Japón, acompañado de un tsunami.	
				51.19	8	1.1; m 2.3		Llamativo por su intensidad.	Hukuoka da Ep. 144°7' E, 39°1' N.	
				55.62	15	5.2		Llamativo.		
			SS	18 15.97	27	13.0		De T creciente.		
			e	24.1	52	7.1		Llamativo por el período.		
	L?		38	110	8.5	1900	2 ondas claras.			
	M		58.78	32	-14.9	235	Entre serie fuerte.			
	M		19 11.38	33	-26.1	445	Ídem.			
	Z	M	21.26	30	-16.3	220	Entre grupo difuso.			
			M	27.39	28	-15.3	175	Ídem.		
			F	22 50						
			P ^{1/2}	17 51.00	8	0.2		3 ondas.		
				51.23	18	0.9; m 2.3		Grupo.		
			55.63	~15	1.0; m 3.2		Grupo.			
		S,P,P,S	18 01.1	15	0.5		Ídem.			
		03.60	20	0.9; m 1.6		Ídem.				
PPS		09.1	28	0.5		Llamativo.				
		12.9	30	0.3		Ídem.				
	16.9	30	0.5							
L	50	~80	0.3	~350	Algunas ondas.					
M	51.69	38	-1.6	430	Grupo.					
M	55.82	30	-1.4	230	Entre serie difusa.					
M	19 04.10	30	-1.6	270	Ídem.					
M	20 92	28	-1.9	270	Entre 5 ondas.					
M	22.89	29	-1.7	270	Entre 4 ondas. Desde 36 ^m bastante débil.					
F	21 00									
Mar. 5° 21	E	L	6 58.9	5	0.1-0.2	1	Sin M acentuada.	No observado en otras estaciones.		
		F	7 04							
		L	6 58.9	5	0.2	1	Sin detalles.			
F	7 04									
Mar. 11° 22	E		20 02.75	6	0.5; m 2.1		Gancho; sin más det. claros.	P: 19 ^h S: 19 ^h		
		F	07					Mizusawa 35 ^m 43 37 ^m 63		
	N		20 02.84	5	0.6; m 2.0		3 ondas.	Manila 37.00 40.43		
		F	04.09	7	0.7		4 ondas. Sin más detalles.	Chiufeng 37 50 (39.93)		

Fecha y número	Componente	Fase	Hora	Período	Amplitud		Notas sobre las fases	Carácter de P y Notas sobre el epicentro	
					Aparente	Absol.			
					mm	μ			
Mar. 11 22			h m	c	mm	μ		O (P Mizusawa, Manila, Chiufeng): 19 ^h 32 ^m 38.	
								Ep. (idem): 138°9 E, 26°8 N; Pacífico, al S del Japón.	
								Δ _p km. Δ _{s-p} km.	
								Mizusawa 1400 1270	
								Manila 2210 2065	
								Chiufeng 2485 (1405)	
								Sentido en los distritos de Kivanto y Tohoku, Japón.	
								Hukuoka da Ep.: 140° E, 28° N y prof. hipocéntrica: 350 km.	
								P: 01 ^h S: 01 ^h	
								Athènes 20 ^m 05 —	
Mar. 14 23	E	L	1 47.3	30	0.2	3	2 ondas bastante claras; siguen μ.	P: 01 ^h S: 01 ^h	
								Athènes 20 ^m 05 —	
								Kóbenhavn 23.98 27 ^m 57	
								Cartuja 24.55 28.72	
								O (P Athènes, Kóbenhavn, Cartuja): 01 ^h 18 ^m 61.	
								Ep. (idem): 29°8 E, 35°1 N; Mediterráneo.	
								Δ _p km. Δ _{s-p} km.	
								Athènes 635 —	
								Kóbenhavn 2640 2180	
								Cartuja 3000 2650	
Mar. 15 24	E	L	5 48.9	~28	0.2; m 0.4	2-5	Poco claro.	P: 05 ^h S: 05 ^h	
								Apia 00 ^m 45 02 ^m 02	
								Suva 02.(0) 05.4	
								Wellington — 08.5	
								O: 04 ^h Δ km.	
								Apia 58 ^m 54 860	
								Suva — 1300	
								Wellington — 2800:	
								Ep. apr. (Δ Apia, Suva, Wellington): 170° W, 5° S; Océano Pacífico, región de las islas Phoenix.	
								No observado en otras estaciones.	
Mar. 15 25	E	L	15 46.8	35	<0.1; m 0.1	2	Pocas ondas.	No observado en otras estaciones.	
								Nada de concreto.	

Fecha y número	Componente	Fase	Hora	Período	Amplitud		Notas sobre las fases	Carácter de P y Notas sobre el epicentro	
					Aparente	Absol.			
					mm	μ			
Mar. 17 26	E	P'	16 15.06	5	0.5	2	Grupo.	P: 16 ^h S: 16 ^h	
								Serie débil.	
								Mizusawa 00 ^m 13 04 ^m 03	
								Sitka 02.23 07.70	
								Manila 04.47 11.98	
								O (P Mizusawa, Sitka, Manila): 15 ^h 55 ^m 21.	
								Ep. (idem): 162°3 E, 55°1 N; Kamtchatka.	
								Δ _p km. Δ _{s-p} km.	
								Mizusawa 2370 2430	
								Sitka 3740 3820	
Mar. 17 27	E	PPS	19 52.5	5 y 10	0.2	~3	Poco claro.	P: 19 ^h S: 19 ^h	
								Manila 34 ^m 93 37 ^m 02	
								Amboina 35.00 —	
								Batavia 37.60 41.88	
								O (P Manila, Amboina, Batavia): 19 ^h 32 ^m 55.	
								Ep. (idem): 125°3 E, 5°9 N; Océano al S de Mindanao, Filipinas.	
								Δ _p km. Δ _{s-p} km.	
								Manila 1075 1195	
								Amboina 1110 —	
								Batavia 2440 2730	
Mar. 18 28	E	PPP	3 12.52	7	0.3-0.4	2	2 ondas.	P: 03 ^h S: 03 ^h	
								Grupo fuerte; después serie débil.	
								Sucre 14 ^m 73 22 ^m 33	
								La Paz 15.17 23.23	
								O: 03 ^h Δ km.	
								La Plata Z 05 ^m 0 4150:	
								Sucre 05.13 6035	
								La Paz 05.09 6510	
								Ep. apr. (Δ La Plata, Sucre, La Paz): 15° W, 45° S; Océano Atlántico, al S de las islas Tristan da Cunha.	
								U. S. C. G. S. da O: 03 ^h 05 ^m 3 y Ep.: 16° W, 63° S.	

Fecha y número	Componente	Fase	Hora	Período	Amplitud		Notas sobre las fases	Carácter de P y Notas sobre el epicentro
					Aparente	Absol.		
			h m	e	mm	μ		
Mar. 18 28	N	S	3 18.3	12	0.2; m 0.9		Llamativo.	
		SSS	20.4	15	0.2			
		L	21.4	32	0.5		8 Después fundamentales 50°.	
		M	23.90	32	-0.6		1 Después paulatinamente decreciendo.	
	Z	F	4 10					
		P	3 12.54	10	0.1		2 ondas.	
		PPP	13.8	8	0.1			
		S	18.3	?	0.1		Indicios vagos.	
		L	21	~40	<0.1	<30	Ídem. Sin M acentuada.	
		F	50					
Mar. 25 29	E	iP	8 35.06	6	i + 0.3; m 0.6		Muy claro.	Condensación. P: 08 ^h S: 08 ^h
		S	37.09	5	0.8		Bastante claro.	Santiago 33 ^m 60 34 ^m 12
			37.5	~5	0.3; m 0.6		Algunas ondas.	La Paz 36.20 39.13
		L	38.1	4	0.7		3 De A creciente.	O (P Santiago, La Plata, La Paz): 08 ^h 32 ^m 75.
	N	M	38.48	5	+1.5		7 Entre grupo.	Ep. (idem): 68°4 W, 30°9 S; Provincia de San Juan, Argentina.
		M	39.29	5	+1.5		7 Entre otro grupo.	
		F	47					
		eP	8 35.1	5 y 2	0.1		Bastante claro.	Δ _p km. Δ _{s-p} km.
		L?	36.78	6	0.3			Santiago 360 235
		L?	37.4	6	0.6		2 Problemático.	La Plata 1045 1100;
Z	M	37.9	4	1.2		5 Entre grupo.	La Paz 1595 1735	
	F	38.40	~5	-2.0		~9	Sentido en Elqui, Chile.	
	iP	8 35.07	< 2	0.1		Claro.		
	S	37.06	2	0.1		Poco claro.		
	L	37.8	2	0.1	< 1	Ídem.		
	M	38.45	3	-0.3		1 Entre grupo.		
Abr. 9 30	E	L	4 28	30	<0.1	< 2	Serie sin M pronunciada.	P: 04 ^h S: 04 ^h
		F	5 05					Columbia 03 ^m 88 08 ^m 50
	N	L	4 33	30	0.1-0.2		3 Grupo sin M acentuada; siguen otros grupos débiles.	Bozeman 04.13 08.80
		F	5 05					La Paz 07.52 14.82
								O (P Columbia, Bozeman, La Paz): 03 ^h 58 ^m 34.
								Ep. (idem): 104°2 W, 20°1 N; México.
								Δ _p km. Δ _{s-p} km.
								Columbia 2745 3010
								Bozeman 2905 3055
								La Paz 5660 5720
								U. S. C. G. S. da O: 03 ^h 58 ^m 2 y Ep.: 105° W, 18° N.

Fecha y número	Componente	Fase	Hora	Período	Amplitud		Notas sobre las fases	Carácter de P y Notas sobre el epicentro
					Aparente	Absol.		
			h m	e	mm	μ		
Abr. 10 31	E	L	24 05.1	5	0.3	1	6 ondas.	P: 23 ^h S: 23 ^h
		M	05.50	4	-0.4	2	Otro grupo.	Sucre 56 ^m 50 57 ^m 10
		F	10					La Paz 57.57 58.90
	N	L	24 04.9	4	0.1; m 0.1	< 1	Serie; sin más detalles.	O: 23 ^h Δ km.
		F	10					Sucre 55 ^m 82 280
								La Paz 55.95 720
								La Plata L. — 1900:
								Ep. apr. (Δ Sucre, La Paz, La Plata): 63° W, 20° S; Región S. Central de Bolivia.
Abr. 13 32	E	L	15 36.0	4	0.5	3		P: 15 ^h S: 15 ^h
		M	36.85	5	-1.0	5	Entre 8 ondas.	Santiago 30 ^m 33 31 ^m 55
		F	43					La Paz 32.57 34.57
	N	P?	15 32.2	5	0.2		Serie; podría ser μ, sin embargo.	O: 15 ^h Δ km.
		L	36.0	4	0.6	3	Ídem.	Santiago 28 ^m 85 650
		M	36.62	4	-1.1	5	Entre grupo.	La Plata 28.9 1500:
	M	36.86	4	-0.8	4	Entre otro grupo; después paulat. decreciendo.	La Paz 30.09 1135	
	F	41					Resultados poco concordantes.	
							Ep. apr. (Δ Santiago, La Plata): 71° W, 27° S; Provincia de Atacama, Chile.	
								Sentido en Taltal y Copiapó, Chile.
Abr. 14 33	E	L?	20 28	38	<0.1	< 2	Nada concreto.	P: 19 ^h S: 19 ^h
		M	38.76	~40	-0.1	~3	Algunas ondas.	Amboina 19 ^m 28 21 ^m 45
	N						Entre 2 ondas clara; después insignificante.	Manila 22.00 27.33
		F	58					Mizusawa 24.40 30.67
								O (P Amboina, Manila, Mizusawa): 19 ^h 16 ^m 46.
								Ep. (idem): 139°6 E, 1°8 S; Nueva Guinea.
								Δ _p km. Δ _{s-p} km.
								Amboina 1290 1250
								Manila 2750 3680
								Mizusawa 4550 4620
								U. S. C. G. S. da O: 19 ^h 16 ^m 6 y Ep.: 139° E, 3° S.
Abr. 19 34	E	eP	1 54.0	5	0.1; m 0.3		Serie.	P: 01 ^h S: 02 ^h
		eS?	2 00.5	7	0.1-0.2		Problemático por μ.	La Paz 54 ^m 93 02 ^m 28
		L	04.0	24	0.1	1	Algunas ondas.	Sucre 55.10 03.22
	N	M	08.91	14	+0.7	3	Entre 2 ondas.	O: 01 ^h Δ km.
		M	09.54	14	+0.6	3	1 onda llamativa.	La Plata 45 ^m 7 4850
		F	30					La Paz 45.62 5775
	L		2 04.1	20	0.1	< 1	Después T más cortas.	Sucre 44.96 6580

Fecha y número	Componente	Fase	Hora	Período	Amplitud		Notas sobre las fases	Carácter de P y Notas sobre el epicentro	
					Aparente	Absol.			
			h m	c	mm	μ			
Abr. 19 34	N	M	2 06.97	14	-0.3	1	Entre 3 ondas.	Ep. apr. (Δ La Plata, La Paz, Sucre): 120° W, 55° S; S Pacífico. U. S. C. G. S. da O: 01^h45^m8 y Ep.: 118° W, 52° S.	
		M	09.20	17	-0.5	2	Entre 10 ondas sinusoidales.		
		M	11.70	9	-0.4	2	Entre 3 ondas.		
		F	35						
	Z	L	2 08	~ 14	0.1	~ 3	Pocos indicios.		
Abr. 23 35	E	L	13 29.2	4	0.1	< 1	Serie sin M.	No observado en otras estaciones.	
		F	31						
	N	L	13 29.0	4	0.1	< 1	Serie.		
		M	29.55	4	+0.3	1			
		F	31						
Abr. 27 36	E	e	2 58.5	5	0.1		Serie.	Sitka 38^m28 — Seattle 40.82 — Bozeman 41.93 46^m72 O (P Sitka, Seattle, Bozeman): 02^h35^m41 . Ep. (idem): $156^\circ2$ W, $62^\circ5$ N; Alaska. Δ_p km. Δ_{s-p} km. Sitka 1310 — Seattle 2660 — Bozeman 3380 3165 Sentido en el Sud de Alaska. U. S. C. G. S. da O: 02^h36^m1 y Ep.: 151° W, 62° N.	
		L	3 34	66	0.2	19	Algunas ondas.		
		M	41.69	~ 55	+0.4	~ 25	Entre 6 ondas.		
		M	46.49	28	+0.4	6	Entre 7 ondas.		
		M	49.79	~ 30	+0.5	~ 8	Entre 5 ondas.		
		F	5 10						
		N	PP	2 56.68	4	0.1			Serie.
				57.17	4	0.2			1 onda; desp. otra más corta.
	SS		3 14.1	40	0.4		2 ondas.		
	SSS		17.7	55	0.3		Algunas ondas.		
			24.9	~ 25	0.2		Principio mal definido.		
	L?		35	~ 80	0.2	~ 25	Más claro.		
			36.1	67	0.3	30	Principio de las ondas sinus.		
	Z	M	40.04	66	-0.4	30	Entre 3 ondas fuertes.		
		M	50.90	34	-0.5	9	1 onda llamativa.		
M		55.22	27	-0.6	7	Entre 18 ondas.			
F		5 05							
L		3 40	~ 50	< 0.1	< 45	Algunos indicios.			
M		49.69	30	0.1	17	Poco acentuada.			
F		4 10							
Abr. 29 37		E	P	23 33.09	5	0.3-0.4		Serie.	La Paz 30^m08 30^m78 O: 23^h Δ km. La Paz 29^m27 340 La Plata 29.0 1900 Ep. apr. (Δ La Paz, La Plata): 67° W, 20° S; Provincia de Potosí, Bolivia.
	eS		36.3	4	0.3-1.0		~ 4 ondas.		
	L?		38.6	20	0.1	< 1	Pocos indicios; sin más detalles.		
	N	F	41						
		P	23 33.12	5	0.7		Serie.		
		S	36.35	5	1.7		4 ondas fuertes; después serie débil, sin más detalles.		
		F	39						
	Z	iP	23 33.14	1.5	0.1		Con superp. muy cortas.		
		eS	36.3	3	0.1		Durante la señal de minuto.		
		F	38						

Fecha y número	Componente	Fase	Hora	Período	Amplitud		Notas sobre las fases	Carácter de P y Notas sobre el epicentro
					Aparente	Absol.		
			h m	c	mm	μ		
Mayo 2 38	E	L	23 36.0	~ 37	0.1	~ 3	Algunas ondas.	23 ^h Firenze e 10.0 Tucson L 29 Honolulu L 37.5 Datos insuficientes para el cálculo.
		M	37.74	27	0.2	3	Perdiéndose entre μ largas.	
		F	41					
	N	L	23 37.0	27	0.1	1	~ 5 ondas sin M.	
		F	41					
Mayo 6 39	E	e	5 43.1	6	0.5		Algunas ondas de origen problemático.	P: 05^h S: 05^h Balboa 34^m60 35^m48 San Juan 38.17 42.00 La Paz 39.18 43.87 O (P Balboa, San Juan, La Paz): 05^h33^m18 . Ep. (idem): $84^\circ2$ W, $5^\circ7$ N; Pacífico, al S de la América Central. Δ_p km. Δ_{s-p} km. Balboa 625 450 San Juan 2410 2375 La Paz 3035 3075 Sentido en Balboa. U. S. C. G. S. da O: 05^h33^m6 y Ep.: 83° W, 6° N.
		SS	52.6	~ 30	0.2		Pocos indicios.	
		M	6 00.6	Irr. y 30	0.4	7	Entre serie de T variable.	
		M	04.20	24	0.3	3		
		F	20					
	N	P	5 42.07	5	0.4; m o.6		2 ondas entre μ .	
		PP	44.02	6	0.5		1 onda llamativa.	
		S	48.96	27	0.6		Algunas ondas.	
		L	54.4	50	0.2	9	Más clara que la fase anterior.	
		M	6 01.2	42	0.3	9	1 onda.	
Mayo 8 40	E	M	02.31	38	-0.6	15	Entre serie difusa.	P: 10^h S: 10^h Tucson 37^m80 41^m08 St. Louis 38.83 43.03 La Paz 42.18 49.12 O (P Tucson, St. Louis, La Paz): 10^h33^m58 . Ep. (idem): $100^\circ3$ W, $17^\circ3$ N; Pacífico al S de México. Δ_p km. Δ_{s-p} km. Tucson 1980 1965 St. Louis 2565 2670 La Paz 5130 5320 Destructor en México. U. S. C. G. S. da O: 10^h33^m8 y Ep.: 101° W, 17° N.
		F	04.13	24	-1.0	9		
	PS	10 54.2	~ 20	0.3			Poco llamativo. Sin M acentuada.	
		L	11 07.4	~ 30	0.2	~ 3		
		F	30					
N	P	10 44.66	4	0.3		Grupo.		
	e	45.7	13	0.2		Algunas ondas.		
	S	53.38	15	0.4		~ 4 ondas.		
	SS	57.6	22	0.4		4 ondas.		
		11 01.6	~ 20	0.3		Serie.		
	L	08.1	31	0.4	6			
	M	14.58	28	-0.6	7	Entre 11 ondas sinusoidales.		
	F	12 10						
Z	L	11 11.7	~ 35	< 0.1	< 25			
	F	20						
Mayo 11 41	E	L	6 21.5	5	0.2	1	Algunas ondas.	06 ^h Santiago 19^m0 Sentido en Copiapó, Chile.
		M	21.83	5	+0.5	2	Serie.	
		F	27					
	N	e	6 21.3	3	0.1		Poco llamativo.	
		L	21.5	4	0.3	1	Algunas ondas.	
		M	21.93	5	+0.8	3	Entre grupo.	
F	25							

Fecha y número	Componente	Fase	Hora	Período	Amplitud		Notas sobre las fases	Carácter de P y Notas sobre el epicentro
					Aparente	Absol.		
			h m	e	mm	μ		
Mayo 17 42	E	L	2 20.2	~33	0.1	~2	Serie débil. Sin M acentuada.	No observado en otras estaciones.
		F	3 00					
	N	L	2 20.2	~35	<0.1	<2	Sin M acentuada.	
		F	40					
Mayo 19 43	E	P	18 07.25	8	0.3		Serie.	P: 18 ^h - S: 18 ^h San Fernando 05 ^m 33 11 ^m 55 San Juan 07.43 15.05 La Paz 07.43 15.22 O (P San Fernando, San Juan, La Paz): 17 ^h 57 ^m 62. Ep. (idem): 12° W, 2° S; Atlántico Central.
		PP	09.05	5	0.3		Serie.	
		PPP	10.64	5	0.5		Grupo.	
		S	14.59	22	0.5; m 0.9		Grupo.	
		L	22.0	~50	0.2	~10	2 ondas.	
		M	26.51	33	+0.9	19	Entre 20 ondas.	
	N	M	28.26	26	+1.0	12		
		F	19 15					
		eP	18 07.4	4	0.2		Destacándose poco de las μ .	
		eS	14.6	14	0.3		Serie.	
		L	20.3	46	0.3	11	2 ondas claras.	
		L	22.6	42	0.4	12	Principio de las ondas sinusoidales.	
Z	M	23.12	42	-0.5	15			
	M	28.19	22	-0.5	3	Decreciendo paulatinamente.		
	F	19 30						
	L	18 22.0	~60	<0.1	<70	Algunos indicios.		
	F	35						
Junio 3 44	E	eS ²	7 52.8	~2	0.1		Entre μ .	P: 07 ^h S: 07 ^h Santiago 49 ^m 63 50 ^m 83 O: 07 ^h Δ km. Santiago 48 ^m 18 640 La Plata L — 1200: Ep. apr. (Δ Santiago, La Plata): 68° W, 28° S; provincia de San Juan, ó, 70° W, 39° S; territorio de Neuquén, Argentina.
		L	54.0	4	0.5	3	Irregular; sin M acentuada.	
	N	F	57				Perdiéndose entre μ .	
		eS ²	7 52.8	1 y 2	0.1		Entre μ .	
	Z	L	53.8	4	0.3	1	Serie.	
		M	54.22	5	-0.6	3		
Junio 5 45	E	P ²	1 46.33	2	0.1		Serie.	P: 01 ^h S: 01 ^h Santiago 43 ^m 12 43 ^m 43 O: 01 ^h Δ km. Santiago 42 ^m 70 145 La Plata L — 1150: Ep. apr. (Δ Santiago, La Plata): 70° W, 33° S; provincia de Mendoza, Argentina, en el límite con Chile. Sentido en Mendoza, Argentina y Santiago, Chile.
		eS ²	47.8	5 e irr.	0.1-0.2		Poco claro; con superp. 2°.	
		L	48.3	5	0.3	1	Serie.	
	N	M	48.48	5	+0.4	2		
		F	54					
		eP ²	1 46.4	2	0.1		Poco claro.	
Z	e	47.4	3	0.1				
	L	48.0	5	0.4	2			
	M	48.24	5	-0.6	3	Entre 3 ondas.		
	Z	L	1 48.2	2	0.1	<1	Algunas ondas; sin M.	
		F	50					

Fecha y número	Componente	Fase	Hora	Período	Amplitud		Notas sobre las fases	Carácter de P y Notas sobre el epicentro	
					Aparente	Absol.			
			h m	e	mm	μ			
Junio 6 46	E	eP	3 03.9	5 y 2	0.1		Poco llamativo.	P: 03 ^h S: 03 ^h Santiago 01 ^m 75 02 ^m 88 O: 03 ^h Δ km. Santiago 00 ^m 39 600 La Plata 01.6 1050: Horas de O poco concordantes. Ep. apr. (Δ Santiago, La Plata): 67° W, 29° S; provincia de La Rioja, Argentina. Sentido en Copiapó, Chile.	
		eS	05.8	4 y 2	0.1-0.2		Ídem.		
		L	06.3	5	0.3	2	Grupo; sin M acentuada.		
		F	08						
		N	P	3 03.83	2	0.1			Bastante claro.
			e	05.2	5	0.2			2 ondas.
	Z	S	05.7	4	0.2		Poco llamativo.		
		L	06.1	4	0.2-0.3	1	Sin M acentuada.		
		F	09						
		e	3 05.52	3	0.1		Algunas ondas.		
		eS	05.9	3	0.1	<1	Ídem.		
		L	06.3	3	0.1		Ídem.		
Junio 12 47	E	i	19 42.23	5	i + 0.6		Gancho acentuado.	P: 19 ^h La Paz 43 ^m 70 Datos insuficientes para el cálculo.	
		F	44						
	N	S ²	19 40.63	3	0.1		Entre μ fuertes.		
		L ²	42.2	5	0.2	1	Poco llamativo.		
	Z	M	42.29	5	-1.1	5	5 ondas.		
		F	44						
Junio 18 48	E	e	19 40.5	1	0.1		Entre μ .	P: 21 ^h S: 21 ^h Mizusawa 37 ^m 97 — Hukuoka 40.17 42 ^m 31 Chiufeng 42.13 45.83 O (P Mizusawa, Hukuoka, Chiufeng): 21 ^h 36 ^m 56. Ep. (idem): 148° E, 38° N; Pacífico, al E del Japón. Δ _p km. Δ _{s-p} km. Mizusawa 625 — Hukuoka 1680 1230 Chiufeng 2765 2265 Discrepancia considerable entre las Δ _p y Δ _{s-p} . Sentido en una región extensa del Japón. Hukuoka da Ep.: 142° E, 38° N.	
		i	40.65	2	0.1; m 0.4		Llamativo.		
		S ²	42.27	2	0.1	<1	Poco claro.		
		F	43						
		e	22 02.44	5	0.5				Grupo.
		S,P,P,S	08.9	10	0.6				1 onda; otras de T más pequeñas.
	N	i	13.16	10	0.7		1 onda.	P: 21 ^h S: 21 ^h Mizusawa 37 ^m 97 — Hukuoka 40.17 42 ^m 31 Chiufeng 42.13 45.83 O (P Mizusawa, Hukuoka, Chiufeng): 21 ^h 36 ^m 56. Ep. (idem): 148° E, 38° N; Pacífico, al E del Japón. Δ _p km. Δ _{s-p} km. Mizusawa 625 — Hukuoka 1680 1230 Chiufeng 2765 2265 Discrepancia considerable entre las Δ _p y Δ _{s-p} . Sentido en una región extensa del Japón. Hukuoka da Ep.: 142° E, 38° N.	
			13.56	10	0.8		Ídem.		
			22.7	~40	0.3		Algunas ondas.		
		SSS	27.6	50	0.4		Ídem.		
		e	36.2	~50	0.5	~25	Ídem.		
		L	51.8	~60	0.3	~25			
	Z	M	54.49	53	+0.5	30	Serie sinusoidal.		
		M	23 02.66	34	+0.4	9			
		W ²	19.00	48	+0.5	25	Entre otra serie.		
		M	30.15	31	+0.6	11	Ídem.		
		F	55						
		e	22 22.7	~50	0.3		Pocas ondas.		
	Z	eSSS	28.2	Irr.	0.2		Gancho.		
		e	45.6	~70	0.1		Algunos indicios.		
		L	55.6	40	0.1-0.3	3-8	Algunas ondas.		
		M	23 09.50	~50	-0.3	~14	Ídem.		
		M	15.09	46	-0.4	15	1 onda acentuada.		
		M	36.09	28	-0.3	4	Grupo.		

Fecha y número	Componente	Fase	Hora	Período	Amplitud		Notas sobre las fases	Carácter de P y Notas sobre el epicentro		
					Aparente	Absol.				
			h m	c	mm	μ				
Junio 18 48	Z	e	22 02.3	7	0.1		Sin más detalles claros.			
		e	51.8	32	<0.1	<20				
		F	52							
Junio 20 49	E	eP?	9 07.6	4	0.1		Entre μ; apenas visible.	P: 09 ^h	S: 09 ^h	
		eS?	09.3	Irr.	0.1		Entre μ.	La Paz 09 ^m 50	—	
		L	10.1	4	0.5		3 Con superposiciones cortas.	O: 09 ^h	Δ km.	
		M	10.21	3	-1.2		6 Entre algunas ondas fuertes.	La Plata 06 ^m 1	0800	
		M	10.48	~5	-1.6	~8		La Paz P —	1600	
	N	P?	9 07.64	4	0.1-0.2		Poco claro.	Ep. apr. (Δ La Plata, La Paz): 65° W, 31° S; provincia de Córdoba, Argentina.		
		S?	08.95	4	0.2		Ídem.			
		L	10.0	Irr. y 4	0.5		2 De A creciente.			
		M	12.40	4	+1.0		4 Grupo.			
		F	17							
Z	L	9 10	2	0.1	<1	Serie.				
	M	10.45	5	+0.3	1	Entre pocas ondas.				
Junio 24 50	E	PP	22 17.45	4	0.2; m 0.3		Serie.	P: 21 ^h	S: 22 ^h	
		SS	34.4	~50	0.3		De aspecto algo irregular.	Batavia 55 ^m 32	—	
		L	51.1	77	0.5	70	3 ondas claras.	Manila *00.28	(05 ^m 82)	
		M	23 07.79	30	+0.5	9	Entre 5 ondas.	Riverview *03.93	11.33	
		M	13.46	34	+0.9	20	Entre 6 ondas.	O (P Batavia, Manila, Riverview): 21 ^h 54 ^m 62.		
		M	19.53	35	+0.6	15	Entre 6 ondas.	Ep. (ídem): 104°6 E, 4°9 S; S-Sumatra.		
	N		24 25	5	0.2		Grupo llamativo.	Δ _p km.	Δ _{s-p} km.	
			22 15.97	4	0.4		Más llamativo que la fase anterior.	Batavia 285	—	
		PP	16.78	4	0.3; m 1.0		Serie; hacia el fin de la fase 21°.	Manila 2820	(3890)	
		S _c P _c S	21.6	4	0.2		Serie.	Riverview 5770	5830	
		S _p P _p S	23.9	Irr.	0.5		Poco detallado.	Destructor en S-Sumatra.		
		SS	35.3	~80	0.4		2 ondas bastante largas.	Batavia da Ep.: 104°2 E, 5°0 S.		
		L	50.2	~65	0.3	~25	3 ondas.			
Z		23 04.6	43	0.3	10	Principio de las ondas sinusoidales.				
	M	07.35	38	-0.6	15	Entre 15 ondas.				
	M	17.28	33	-0.6	11	Entre 5 ondas.				
	M	36.08	35	-0.3	6	1 onda.				
	F	24 50								
	L	23 02.4	~55	<0.1	<60	Indicios vagos.				
	M	11.67	~30	-0.1	~17	Sin más detalles.				
	F	30								
	Julio 1° 51	E	P?	6 52.63	7	0.3		Gancho problemático; 0 ^m 35 después grupo débil.	Santiago 50 ^m 65	S: 50 ^m 88
								La Paz 53.12	355.47	

Fecha y número	Componente	Fase	Hora	Período	Amplitud		Notas sobre las fases	Carácter de P y Notas sobre el epicentro	
					Aparente	Absol.			
			h m	c	mm	μ			
Julio 1° 51	E	L?	6 55.3	5	0.6	3	Serie.	O: 06 ^h Δ km.	
		M	56.09	6	+1.0	5		Santiago 50 ^m 32	110
		M	57.09	5	+1.0	5		Después paulatinamente decreciendo.	La Paz 50.15
	N	F	7 04					Datos poco concordantes.	
		eP?	6 52.1	~5	0.2		Serie débil.	Ep. apr. (Δ Santiago, La Plata): 70° W, 34° S; provincia de Santiago, Chile.	
		i	53.84	2	0.1		Grupo.	Sentido en Elqui y Santiago, con más intensidad en Illapel, Chile.	
		S?	54.70	5	0.3		Destacándose poco.		
		L	55.20	6	0.5	2	Serie.		
		M	56.21	5	-1.5	7			
		M	56.92	5	+1.1	5	Después algunos grupos más.		
Z	F	7 05							
	L	6 56.1	2	<0.1	<1	Serie.			
Julio 21 52	E	P	20 12.9	6	0.4		Serie.	P: 20 ^h	S: 20 ^h
		L	18.4	39	0.2	6	Algunas ondas débiles.	Sucre 15 ^m 45	22 ^m 45
			19.7	~50	1.0	52	Movimiento regular y fuerte.	Tananarive 17.63	26.23
		M	20.47	49	+1.0	50	Entre 26 ondas.	Sucre 06 ^m 57	5390
		M	28.73	30	+1.2	20	Entre 10 ondas.	Tananarive 07.01	7080
	N	F	21 32					La Plata P — 3250;	
		P	20 13.0	6	0.3		Serie.	Ep. apr. (Δ Sucre, Tananarive, La Plata): 24° W, 54° S; Océano Atlántico, en la región de las islas Sandwich.	
		L	18.4	~50	0.4	~18	Serie difusa.	Strasbourg da Ep.: 22° W, 48° S.	
		M	20.67	35	-1.1	25	Entre 2 ondas.		
		M	29.31	29	-1.6	20	Entre serie difusa.		
Z	M	39.31	27	-0.9	10	Ídem.			
	F	21 33							
	P	20 12.9	3	0.1-0.2		Algunas ondas.			
	L	27.1	~30	0.1	~15	Serie sin M acentuada.			
	F	53							
Julio 22 53	E	L	21 59.1	35	0.3	7	9 ondas entre μ.	P: 20 ^h S: 21 ^h	
		M	59.90	35	+0.4	10		Sitka 59 ^m 80	02 ^m 82
		F	22 53					Honolulu *01.70	07.00
	N	SS	21 34.2	~30	0.1		Algunas ondas.	Hukuoka *03.71	10.53
			58.7	27	0.1		Ídem.	O (P Sitka, Honolulu, Hukuoka): 20 ^h 55 ^m 07.	
		L?	22 17.7	80	0.1	12	2 ondas.	Ep. (ídem): 169°0 W, 51°2 N; Islas Aleucianas.	
		M	25.48	36	-0.3	6	Entre ~ 4 ondas.		
		M	31.77	32	-0.3	5	Entre 3 ondas.		
		F	53						
								Δ _p km.	Δ _{s-p} km.
Sitka	2265	1770							
Honolulu	3450	3650							
Hukuoka	5175	5190							
U. S. C. G. S. da O	20 ^h 55 ^m 3								
y Ep.	169° W, 52° N.								

Fecha y número	Componente	Fase	Hora	Período	Amplitud		Notas sobre las fases	Carácter de P y Notas sobre el epicentro	
					Aparente	Absol.			
			h m	c	mm	μ			
Julio 23 54	E	eP	4 18.5	7	0.3; m 0.4		Grupo.	P: 04 ^h	S: 04 ^h
		eS	22.9	7	0.5		3 ondas.	La Paz 14 ^m 45	15 ^m 80
		L	26.2	18	0.5	3	Serie.	Sucre 15.58	—
		M	29.56	15	+1.0	4	1 onda llamativa; después decreciendo paulatinamente.	O: 04 ^h	Δ km.
	N	F	5 10					La Paz 12 ^m 81	730
		eP	4 18.6	8	0.2		Serie.	Sucre —	1250:
		eS	22.95	12	0.3		1 onda.	La Plata 12.9	2800:
		L	25.6	30	0.1-0.2	1-3	Algunas ondas.	Ep. apr. (Δ La Paz, Sucre, La Plata): 75° W, 15° S; Costa del Perú central.	
	Z	M	26.40	22	-0.5	3	Entre 6 ondas; después decreciendo paulatinamente.		
		F	5 23						
		eP	4 18.4	3	<0.1		Sin más detalles.		
		F	19						
Julio 31 55	E	P	15 28.46	8	0.5		Grupo entre fuertes μ .	P: 15 ^h	S: 15 ^h
		S	33.16	7	0.6		Ídem.	La Paz 24 ^m 83	26 ^m 55
		L	36.1	14	0.3	1	Ídem.	Sucre 25.50	27.87
			39.1	14	0.5	2	Principio del movimiento máximo.	O: 15 ^h	Δ km.
	M		39.25	11	+0.6	3	Después perdiéndose entre μ .	La Paz 22 ^m 73	955
			42.53	18	+0.6	3	Después perdiéndose entre μ .	Sucre 22.51	1370
		F	55					La Plata E 22.39	3080
								Ep. apr. (Δ La Paz, Sucre, La Plata): 76° W, 13° S; Costa del Perú central.	
	N	eP	15 28.4	\sim 5	0.2		Entre μ ; poco claro.		
		eS	33.1	\sim 5	0.2		Ídem.		
		L	35.8	21	0.2	1	Mejor que en E.		
		M	36.39	21	-0.3	2			
F		40.47	21	-0.2	1	Después perdiéndose entre μ .			
		53							
Ago. 3 56	E	L	6 05.5	\sim 4	\sim 0.2	\sim 1	Pocas indicios.	No observado en otras estaciones.	
		F	09						
	N	eL	6 05.9	4	0.1	< 1	Pocas ondas.		
		M	06.20	4	-0.2	1			
Ago. 5 57	E	eS	20 25.3	\sim 5	0.1		Poco claro entre μ .	P: 20 ^h	S: 20 ^h
		L	25.9	5	0.2	1	Serie.	Santiago 19 ^m 00	19 ^m 63
		M	26.50	5	+0.4	2		O: 20 ^h	Δ km.
		F	32					Santiago 18 ^m 28	300
	N	e	20 24.7	2	0.1		Serie.	La Plata L —	1550:
		L	25.6	2	0.2	1	Más llamativo.	Ep. apr. (Δ Santiago, La Plata): 74° W, 33° S; O Pacífico frente a la provincia chilena de Valparaíso.	
		M	26.12	5	-0.8	3	Entre 3 ondas fuertes; después débil.	Sentido en Copiapó, Vallenar, Elqui y Ovalle, Chile.	
		F	30						

Fecha y número	Componente	Fase	Hora	Período	Amplitud		Notas sobre las fases	Carácter de P y Notas sobre el epicentro	
					Aparente	Absol.			
			h m	c	mm	μ			
Ago. 7 58	E	eL	4 08.6	2	0.1-0.2	1	Algunas ondas.	04 ^h	S: 04 ^h
		M	09.89	2	+0.6	3	Entre serie.	Santiago 08.00	—
		M	10.94	4	-1.0	5	Después débil.	La Paz P 07.57	—
		F	13					Datos insuficientes para el cálculo.	
	N	eL	4 08.6	2	0.1	< 1	Después fundamentales 12°.	Sentido en Elqui, Chile.	
		M	10.05	4	-0.8	4	Entre 3 ondas.		
		M	10.63	4	-0.6	3	Después decreciendo paulat.		
		F	13						
	Z	L	4 08.5	2	0.1	< 1	Serie.		
		M	08.94	2	-0.1	< 1	Poco acentuado.		
		F	11						
Ago. 8 59	E	L	20 13.5	8	0.8	4	Entre μ fuertes; sin M acentuada.	P: 20 ^h	S: 20 ^h
		F	21					La Paz 00 ^m 77	02 ^m 47
	N	L	20 14.0	\sim 14	0.3	1	1 onda entre fuertes μ ; después otros indicios más.	Sucre 00.85	03.42
		F	23					O: 19 ^h	Δ km.
Ago. 9 60	E	S	23 10.83	6	3.6		Grupo fuerte; L no se destaca; perdiéndose entre fuertes μ .	La Paz 03 ^m 27	L: 03 ^m 6
		F	17					Sucre 03.88	S: 04.73
								O: 23 ^h	Δ km.
								La Paz 02 ^m 8	170
	N	P	23 07.23	4	0.5		Bastante claro.	Sucre 02.88	430
		S	10.82	5	1.2; m 7.3		Grupo muy fuerte; L no se nota.	La Plata 02.66	2180
		M	14.44	6	-0.9	4	Poco llamativo; entre μ .	Ep. apr. (Δ La Paz, Sucre, La Plata): 69° W, 18° S; límite chileno-peruano-boliviano.	
		F	17					Hipocentro profundo.	
	Z	P	23 07.24	2	0.2		Algunas ondas.	Sentido en Arica, Chile.	
		eS	10.9	\sim 2	0.2		Algunas ondas; L no se nota.		
		F	12						
Ago. 19 61	E	eP	23 21.7	2	0.1		Serie débil.	P: 23 ^h	S: 23 ^h
		S	24.04	2	1.0		Ídem.	Santiago 19 ^m 67	20 ^m 25
		L	24.6	5	0.6	3	Ídem.	La Paz 22.28	24.78
		M	24.96	4	+1.1	6	Serie; después débil.	O: 23 ^h	Δ km.
	M		26.46	4	+1.0	5		Santiago 19 ^m 01	270
		F	34					La Plata 19.5	1300:
								La Paz 19.14	1445
								Ep. apr. (Δ Santiago, La Plata, La Paz): 71° W, 30° S; provincia de Coquimbo, Chile.	
	N	eP	23 21.9	2	<0.1		Poco claro.		
		S	24.0	\sim 3	0.6		Serie.		
		M	25.04	5	-1.6	7			
		M	25.61	5	+2.1	9	Desde 26 ^m 1 débil.		
F		30							

Fecha y número	Componente	Fase	Hora	Período	Amplitud		Notas sobre las fases	Carácter de P y Notas sobre el epicentro			
					Aparente	Absol.					
					mm	μ					
Ago. 19 61	Z	eP	23 22.0	2	<0.1		Algunas ondas. Ídem. Ídem. Desde 25 ^m débil.	Sentido en Copiapó, Vallenar, Elqui y Ovalle, Chile.			
		S	24.0	2	0.1						
		L	24.5	2	0.1	< 1					
		M	24.91	3	-0.5	2					
		F	27								
Ago. 20 62	E	L	10 49	5	0.2	1	Serie. Serie. Ídem. Grupo fuerte.	P: 10 ^h S: 10 ^h Santiago 43 ^m 28 43 ^m 55 La Paz 47.12 — O: 10 ^h Δ km. Santiago 42 ^m 89 130 La Plata L — 1200; La Paz P — 2000; Ep. apr. (Δ Santiago, La Plata, La Paz): 71° W, 34° S; provincia de O'Higgins, Chile. Sentido en Petorca, Chile.			
		M	49.80	5	-0.5	3					
		F	52								
	N	e	10 48.6	4	0.2						
		L	49.1	4	0.3	1					
		M	49.56	4	-1.0	4					
		M	49.71	4	+0.9	4					
		F	53								
		E	P	8 10.58	5	0.5				Grupo.	P: 07 ^h S: 07 ^h Chiufeng 53 ^m 53 56 ^m 25 Hukuoka 55.55 59.84 Manila 55.70 59.90 O (P Chiufeng, Hukuoka, Manila): 07 ^h 50 ^m 30. Ep. (ídem): 103°0 E, 31°9 N; provincia de Szechwan, China. Δ _p km. Δ _{s-p} km. Chiufeng 1485 1570 Hukuoka 2565 2740 Manila 2650 2670 Destructor en Szechwan, China. J. S. A. da O: 07 ^h 50 ^m 60 y Ep.: 103°2 E, 30°9 N.
			PP	15.10	20	0.4					
S,P,P,S	15.31		12	1.0; m 3.8							
Ago. 25 63	E	S,P,P,S	22.06	21	0.5		Algunas ondas. 2 ondas con superposiciones más cortas. Poco llamativo. 2 ondas fuertes. Bastante claro. Entre algunas ondas. Ídem. Ídem. Ídem. Serie que se destaca poco de las μ. Serie. Poco detallado. Algunas ondas. Ídem. Ídem. Ídem. Después débil.				
		S,P,P,SP	26.0	~20	0.6						
			28.4	~30	0.2						
		SSS	42.3	~58	1.0						
			51.02	42	0.6						
		L	56.9	~90	0.2	~35					
		M	9 02.28	64	+0.4	35					
		M	12.36	72	+0.5	55					
		M	24.54	33	+0.6	10					
		M	34.77	34	+0.6	13					
		F	10 30								
		N	eP	8 10.8	4	0.2					
			e	14.87	~5	0.2					
				15.71	7	1.0					
			L	57.8	~55	0.1 a 0.2			5-11		
M	9 13.68		78	-0.4	45						
M	24.91		48	-0.4	17						
M	29.80		36	-0.6	13						
M	44.27		35	-0.3	6						
Z	F	10 15									
	P	8 10.59	6 y 12	0.1							
		11.5	8	0.1							
		15.30	8	0.2							

Fecha y número	Componente	Fase	Hora	Período	Amplitud		Notas sobre las fases	Carácter de P y Notas sobre el epicentro	
					Aparente	Absol.			
					mm	μ			
Ago. 25 63	Z		9 14	~50	<0.1	<50	Impresión no clara de una perturbación. Después sin más detalles.		
		F	25						
Ago. 28 64	E	P	22 26.16	6	0.3		Fundamentales 30°; de A creciente. Principio poco claro. Serie fuerte. Entre grupo. Entre nuevo grupo. Después más débil; últimas ondas 26°. Con fundamentales ~ 26°. Grupo fuerte. Entre serie fuerte. Después decreciendo paulat. Después 5° y 10°. Grupo. Después más débil.	P: 22 ^h S: 22 ^h Tananarive 30 ^m 32 39 ^m 23 Dakar 31.20 40.73 O (P La Plata, Tananarive, Dakar): 22 ^h 19 ^m 38. Ep. (ídem): 28°8 W, 61°2 S; Región de las Islas Sandwich, S-Atlántico. Δ _p km. Δ _{s-p} km. La Plata 3580 3680 Tananarive 7440 7390 Dakar 8495 8075 J. S. A. da O: 22 ^h 19 ^m 77 y Ep.: 27° W, 58° S.	
		PPP	27.4	~10 e irr.	~4; m 8.2				
		eS	31.4	28	9.6				
		L	33.3	37	18.0	490			
		M	35.11	28	-44.2	635			
		M	37.34	28	-27.1	390			
		M	46.26	23	+24.8	220			
		F	25 55						
		N	P	22 26.16	7	1.2			
			PPP	27.4	10	~10; m 15.6			
S	31.49		15	13.8; m 23.8					
L	33.6		23	29.5	220				
M	35.45		30	-30.2	435				
M	36.75		20	-36.6	195				
M	42.69		23	-34.0	255				
F	25 15								
Ago. 29 65	E	P	14 57.36	5	0.2		Perturbado por un carro. Grupo. Ídem. Después decreciendo paulat. Grupo fuerte. Claro. Toda la fase poco desarrollada. Reflexión en el núcleo? 2 ondas fuertes; después serie. L no se destaca.	Condensación. P: 14 ^h S: 14 ^h La Paz 54 ^m 33 55 ^m 78 Santiago 56.80 *00.13 O (P La Paz, Santiago, La Plata): 14 ^h 53 ^m 36. Ep. (ídem): 66°1 W, 19°7 S; Bolivia. Δ _p km. Δ _{s-p} km. La Paz 415 790 Santiago 1595 2000 La Plata 1865 2265 J. S. A. da O: 14 ^h 52 ^m 63, Ep.: 70°6 W, 8°3 S y profundidad hipocéntrica 400 km.	
		S	15 01.06	~5	2.8				
		SS	01.7	4	1.4				
		L	03.9	8	0.8	4			
		M	04.86	15	+2.4	10			
		F	55						
		iP	14 57.35	6	i - 2.0; m 3.4				
		S	15 01.10	8	8.0				
		L	04.2	5	1.0	4			
		M	04.32	8	+2.0	8			
	06.97	8	5.0	19					
Z	F	35							
	iP	14 57.35	~3	i - 1.3					
	S	15 01.05	3	+0.3; m 4.3					
		F	10						

Fecha y número	Componente	Fase	Hora	Período	Amplitud		Notas sobre las fases	Carácter de P y Notas sobre el epicentro		
					Aparente	Absol.				
			h m	c	mm	%				
Sept. 6 66	E	iPP	22 25.53	7	+2.0; m 3.0		Grupo.	P: 22 ^h	S: 22 ^h	
			26.18	5	1.1		Ídem.	Riverview 13 ^m 72	17 ^m 87	
		S _c P _c S	30.90	7	3.3; m 5.7		3 ondas fuertes; después débil.	Manila 18.63	26.95	
		PS	33.7	19	3.0		Grupo.	Mizusawa 18.87	27.03	
		PPS	35.04	13	2.2		Ídem.	O (P Riverview, Manila, Mizusawa): 22 ^h 07 ^m 47.		
		SS	39.3	20	0.5		Serie.	Ep. (ídem): 178° W, 22° S;		
		L?	46.35	70	0.4	15	2 ondas.	Pacífico, al W de las islas Tonga.		
	N	M	50.70	36	+0.5					
		F	23 35							
		P	22 25.58	8	1.0; m 2.0		Grupo.	Δ_p km.	Δ_{s-p} km.	
		iS _c P _c S	30.97	7	i +4.8; m 7.3		Ídem.	Riverview 3195	2630	
								Manila 7705	6785	
		PS	33.7	23	1.0		Grupo.	Mizusawa 7970	6620	
		PPS	35.0	11	2.8; m 4.1		2 ondas.	Poca conformidad entre las Δ_p y Δ_{s-p} .		
Z	SS	39.13	21	0.5		Serie.	J. S. A. da O: 22 ^h 08 ^m 48, Ep.: 178° W, 24° S y profundidad hipocéntrica: 600 km.			
	SSS	42.5	23	0.2-0.3		14 Sin M acentuada.				
	L	46.4	50	0.3						
	F	23 35								
	P	22 25.59	9	0.1		Pocas ondas.				
	PS	33.8	~20	0.1		Sin más detalles.				
	F	35								
	Sept. 12 67	E	P?	13 00.73	5	0.1		Grupo entre 2; algo problemático.	P: 12 ^h	S: 13 ^h
			L?	10.0	8	0.2	1	Serie.	Sucre 59 ^m 78	04 ^m 57
			M	11.37	8	+0.3	1		La Paz 59.90	05.10
N		F	25					Pasadena 04.68	—	
		L?	13 08.0	32	0.3	5	Algunas ondas; más claro que en E.	O: 12 ^h	Δ km.	
		M	10.02	18	+0.3	1	Entre 3 ondas.	Sucre 53 ^m 58	3165	
Sept. 13 68	E	eL	10 48.6	5	0.2	1	Serie.	La Paz 53.14	3555	
		M	49.47	5	+0.3	2		La Plata L —	3400:	
		F	57					Pasadena P —	8000:	
		N	L	10 48.6	5	0.2	1	Serie.	Ep. apr. (Δ Sucre, La Paz, La Plata, Pasadena): 95° W, 35° S; Océano Pacífico, al W de la Isla Más afuera.	
			M	49.20	5	-1.0	4		La Paz 42 ^m 32	1135
	N	F	55					Sucre P —	1200:	
								La Plata L —	1300:	
								Ep. apr. (Δ La Paz, Sucre, La Plata) 70° W, 27° S; provincia de Atacama, Chile.		
								Sentido en Copiapó, Chile.		

Fecha y número	Componente	Fase	Hora	Período	Amplitud		Notas sobre las fases	Carácter de P y Notas sobre el epicentro		
					Aparente	Absol.				
			h m	c	mm	%				
Sept. 17 69	E	L	22 49.4	~20	< 0.1	< 1	Algunos indicios entre μ ; sin M.	L: 22 ^h		
		F	23 15					Uccle 30 ^m 0		
Sept. 23 70	N						Nada de concreto.	Pasadena 57.1		
								Datos insuficientes para el cálculo.		
		E	L	7 06.5	7	0.2	1	Serie; poco después perdiéndose entre μ .	P: 07 ^h	S: 07 ^h
			M	07.12	5	+0.7	4		Santiago 00 ^m 85	01 ^m 22
			F	10					O: 07 ^h	Δ km.
	Z	L	7 06.7	7	0.6	2	Serie.	Santiago 00 ^m 33	175	
		M	07.03	5	-1.3	6		La Plata L —	1300:	
		M	07.10	5	+1.1	5		Ep. apr. (Δ Santiago, La Plata): 72° W, 32° S; Océano Pacífico, frente a la provincia Chilena de Aconcagua.		
		F	10.4					Sentido en Elqui, Chile.		
		L	7 06.7	2	< 0.1	< 1		Serie.	No registrado en otras estaciones.	
Sept. 27 71	E	L	23 03.7	22	0.1	1	Serie sin M acentuada.			
		F	15							
Oct. 1° 72	N	L	23 02.2	23	0.1-0.2	1	Serie.			
		M	04.51	18	-0.2	1				
		F	15							
		E	P	2 47.06	4	0.4		Grupo.	P: 02 ^h	S: 02 ^h
			e	47.4	4	0.2-0.3		Ídem.	San Juan 46 ^m 28	50 ^m 80
	N	eS	51.9	4	0.2		Ídem.	Pasadena 50.35	—	
		L	52.9	5	0.3; m 0.7	1	Serie sin M.	O (P San Juan, La Plata, Pasadena): 02 ^h 40 ^m 32.		
		F	58.9	8	0.3			Ep. (ídem): 75° W, 7° S; provincia de Loreto, Perú.		
		P	3 10				Grupo.	Δ_p km.	Δ_{s-p} km.	
		S	2 47.05	4	0.1; m 0.8		Serie; L no se destaca.	San Juan 3010	2920	
Oct. 2 73	E	P	15 36.85	8	0.4; m 2.0		Grupo.	P: 15 ^h	S: 15 ^h	
		PPP	38.5	11	1.8; m 2.2		Grupo.	Balboa 32 ^m 08	33 ^m 92	
		S	42.86	21	1.9; m 6.8		Grupo.	San Juan 34.85	39.25	
		L	52.9	12	14.3	55	Serie de A creciente.	Tucson 37.60	44.25	
		M	56.96	24	-25.7	255	Entre 4 ondas especialmente fuertes.	O (P Balboa, San Juan, Tucson): 15 ^h 29 ^m 07.		
	N	M	57.14	24	+29.2	290	Decreciendo paulatinamente.	Ep. (ídem): 80° W, 3° S; costa de Ecuador.		
		M	59.75	16	+22.8	95		Δ_p km.	Δ_{s-p} km.	
		F	18 00				Serie.	Balboa 1380	1025	
		P	15 36.90	13	+1.0; m-3.0		Grupo fuerte.	San Juan 2900	2825	
		PPP	38.41	9	+2.0; m-3.0		2 ondas.			

Fecha y número	Componente	Fase	Hora	Período	Amplitud		Notas sobre las fases	Carácter de P y Notas sobre el epicentro	
					Aparente	Absol.			
Oct. 2 73	N	S?	h m	c	mm	°	Muy claro. Destacándose poco. 25 De A creciente. 260 Grupo fuerte; entre 11 ondas. 95 Nuevo grupo. 105 Desde 27 ^m A < 2 mm.	Tucson 5075 5020 Sentido en Guayaquil, Ecuador. J. S. A. da O: 15 ^h 29 ^m 83, Ep.: 80° W, 2° S y profundidad hipocéntrica: 230 km.	
			15 43.01	18	-3.2; m 11.8				
				5.9					
			33 e irr.	8.5					
				5.8					
				-43.5					
		L	47.06	20					
		M	49.7	18					
		M	52.3	21					
		M	58.66	15					
		M	16 04.27	19					
		M	06.13						
	F	18 25							
Oct. 3 74	Z	P	h m	c	mm	°	Perturbado por la señal de minuto. 4 ondas sobre la señal de minuto. ~30 Perturbado por la señal. 55 Entre 4 ondas especialmente fuertes. Desde 00 ^m bastante débil.	La Paz P: 10 ^h S: 10 ^h 25 ^m 87 29 ^m 62 San Juan 26.73 31.12 Tucson 29.60 36.12 O (P La Paz, San Juan, Tucson): 10 ^h 21 ^m 28. Ep. (idem): 80°7 W, 1°1 S; costa de Ecuador. Δ _p km. Δ _{s-p} km. La Paz 2190 2310 San Juan 2685 2815 Tucson 4880 4890 U. S. C. G. S. da O: 10 ^h 21 ^m 3 y Ep.: 81° W, 2° S.	
			15 36.91	~ 2	~ 0.2				
				0.2					
				0.1					
				-0.4					
				-1.1					
		S	43	10					
		L	54.5	~40					
		M	56.14	27					
		M	58.15	23					
		F	16 55						
		E	e	10 28.8	5	0.1-0.2	~ 6 Serie poco detallada. Algunas ondas. 3 Entre serie difusa.		
	L		44.4	~40	0.2				
	M		48.85	21	+ 0.4				
	F		11 10						
	N	P	10 28.86	20	0.2; m 0.4	Grupo. Algunas ondas. Pocas ondas.			
	PP		30.24	10	0.2-0.3	~ 3 Poco claro. 7 Entre ~ 7 ondas fuertes; después insignificante.			
	S		34.88	11	0.3				
	L		44.2	~30	0.2				
	M		49.11	29	-0.5				
	F		11 15						
Oct. 3 75	E	P	h m	c	mm	°	Algunas ondas; sin M acentuada. Pocas ondas; sin M acentuada.	La Paz P: 21 ^h S: 21 ^h 31 ^m 80 — Pasadena 34.22 — O apr. (P La Paz, La Plata, Pasadena): 21 ^h 23 ^m 9. Ep. (idem): 110°8 W, 26°6 S. Δ _p km. Δ _{s-p} km. La Paz 4530: — La Plata 5070: — Pasadena 6800: — Océano Pacífico, próximo a la isla de Waihu.	
			21 32.4	5	0.3				
		F		37					
		N	P	21 32.4	5	0.2			
		F		34					

Fecha y número	Componente	Fase	Hora	Período	Amplitud		Notas sobre las fases	Carácter de P y Notas sobre el epicentro	
					Aparente	Absol.			
Oct. 6 76	E	L	h m	c	mm	°	Serie. 3 3 Decreciendo paulatinamente.	P: 20 ^h S: 20 ^h Santiago 24 ^m 27 25 ^m 43 La Paz 25.98 29 65 O: 20 ^h Δ km. Santiago 22 ^m 87 615 La Paz 21.29 2245 La Plata L — 1350: Resultados poco concordantes. Ep. apr. (Δ Santiago, La Paz, La Plata): 75° W, 37° S; Océano Pacífico, al W de la Isla Mocha, Chile.	
			20 28.6	4	0.2				
				28.89	4	+0.5			
				29.87	4	-0.6			
				38					
				20 28.0	4	0.1			
		N	eS	20 28.0	4	0.1	Serie débil. 1 Destacándose poco. 2 Entre 10 ondas. 3 Desde 30 ^m 3 débil.		
		L		28.6	5	0.3			
		M		28.91	4	-0.5			
		M		29.02	4	+0.7			
		F		37					
	Oct. 10 77	E	e	h m	c	mm	°	Serie débil. Claro. 2 Grupo. 5 Otro grupo; después decreciendo paulatinamente.	No observado en otras estaciones. Sentido en La Unión, Chile.
6 38.1				5	0.2				
				40.69	5	0.6			
				41.9	5	0.4			
				43.19	5	+0.9			
				51					
		N	P	6 37.82	5	0.3	Serie débil. 1 onda fuerte, otras débiles.		
		S?		41.39	5	1.0			
		L?		43.1	5	0.3			
		M		46.64	5	-0.6			
		F		49					
Oct. 12 78		E	P	h m	c	mm	°	Serie. Grupo. 1 onda llamativa. 6 Grupo. 6 Nuevo grupo; hacia el fin fundamentales 14°.	P: 07 ^h S: 07 ^h Sucre 14 ^m 07 15 ^m 13 La Paz 14.28 15.55 O: 07 ^h Δ km. Sucre 12 ^m 80 555 La Paz 12.74 680 La Plata 12.05 2080 Ep. apr. (Δ Sucre, La Paz, La Plata): 70° W, 22° S; provincia de Antofagasta, Chile.
	7 16.44			5	0.3				
				17.38	5	0.8			
				19.87	6	1.1			
				21.3	5	1.2			
				22.14	5	+1.2			
		N	F	36					
		P		7 16.47	5	0.1	Débil, pero claro.		
				17.07	4	0.5			
				17.4	5	0.6			
				19.95	5	0.8			
				21.1	7	0.6			
			21.54	5	-1.7				
			23.00	5	-1.1				
	F		32						
Oct. 19 79	E	L	h m	c	mm	°	2 Serie; sin M acentuada. 1 Serie. 4 Poco después insignificante.	P: 07 ^h S: 07 ^h Santiago 11 ^m 60 12 ^m 03 O: 07 ^h Δ km. Santiago 11 ^m 11 190 La Plata L — 1200:	
			7 16.8	5	0.3				
				19					
		N	L	7 16.7	5	0.3			
		M		17.80	4	-1.0			
		F		19					

Fecha y número	Componente	Fase	Hora	Período	Amplitud		Notas sobre las fases	Carácter de P y Notas sobre el epicentro
					Aparente	Absol.		
			h m	e	mm	μ		
Oct. 19 79								Ep. apr. (Δ Santiago, La Plata): 70° W, 52° S; prov. de S. Juan, Argentina, en el lim. con Chile. Sentido en Petorca y en el valle del Aconcagua, Chile.
Oct. 25 80	E	iP	23 31.28	5	i + 5.2; m 8.0		Grupo fuerte.	Condensación. P: 23 ^h S: 23 ^h La Paz 30 ^m 02 31 ^m 38 Santiago 30.62 32.53 O (P La Paz, Santiago, La Plata): 23 ^h 28 ^m 13. Ep. (idem): 66°4 W, 24°0 S; provincia de Salta, Argentina. Δ _p km. Δ _{s-p} km. La Paz 850 735 Santiago 1130 1070 La Plata 1460 E 1470 Temblor fuerte en Antofagasta, Taltal e Iquique, Chile. J. S. A. da O: 23 ^h 28 ^m 47 y Ep.: 68° W, 22° S.
		SSS	33.83	4	7.0; m 13.8		Ídem.	
		L	35.0	9	15.0	65	De A creciente.	
		M	35.20	~ 5	+30.1	~ 150	Entre algunas ondas.	
		M	35.40	5	-19.2	95	Desde 46 ^m A < 3 mm; últi- mas ondas 25°.	
	N	F	25 00					
		iP	23 31.28	5	i - 7.4		Grupo fuerte.	
		S	33.67	12	11.9; m 17.0		Destacándose bien.	
		L	34.6	8	12.0	45	Serie.	
		M	35.22	5	-28.0	120	Decreciendo paulatinamente; desde 49 ^m A < 1 mm; últi- mas ondas 25°.	
Z	F	25 00						
	iP	23 31.30	4	i + 0.3; m 2.7		Grupo.		
	SSS	33.9	4	m 3.3		Durante la señal de minuto.		
	L	34.7	10 y 5	1.2	20	Serie.		
Oct. 26 81	E	P	12 12.59	5	i + 0.6		Grupo.	P: 12 ^h S: 12 ^h Santiago 12 ^m 83 17 ^m 82 La Paz 15.18 22.02 O (P La Plata, Santiago, La Paz): 12 ^h 06 ^m 88. Ep. (idem): 64°2 W, 60°4 S; Región Subantártica. Δ _p km. Δ _{s-p} km. La Plata 2840 2900; Santiago 3005 3355 La Paz 4860 5210
			13.99	4	4.0		Ídem.	
		S?	17.21	18	2.8		Serie.	
		L?	20.7	14	6.2	25	Ídem.	
		M	24.35	23	+20.7	180	Entre algunas ondas.	
	N	M	26.65	19	+24.5	140	Ídem.	
		M	30.40	19	+26.6	155	Después más débil.	
		F	13 50					
		P	12 12.5	5	0.6; m 6.5		Grupo.	
		S	16.99	16	3.2; m 10.8		Bastante claro.	
Z	L	20.7	36	7	150	Serie.		
	M	24.42	20	-22.0	120	Entre algunas ondas.		
	M	26.65	15	-36.8	120	Ídem.		
	M	28.95	16	-37.9	130	Después más débil.		
	F	13 55						
	P	12 12.57	7	0.6		Serie; S no se destaca.		
	L	19.9	10 a 20	0.1	7	Destacándose poco.		
	M	21.35	30	-0.3	50	Entre algunas ondas.		
	M	28.05	17	-0.4	20	Ídem.		
	F	13 05						

Fecha y número	Componente	Fase	Hora	Período	Amplitud		Notas sobre las fases	Carácter de P y Notas sobre el epicentro
					Aparente	Absol.		
			h m	e	mm	μ		
Oct. 27 82	E	P	6 40.77	5	0.1-0.2		Serie.	06 ^h Santiago 36 ^m 0 La Paz P 41.98 Datos insuficientes para el cálculo.
		e	43.8	4	0.1		Ídem.	
		e	49.1	5	0.2-0.3		Sin más detalles.	
		F	51					
Nov. 3 83	E	P	6 40.8	5	0.1; m 0.4		Grupo.	3 ondas claras; después débil. 3 ondas. Condensación. P: 04 ^h S: 04 ^h Sucre 16 ^m 10 17 ^m 43 Huancayo 17.22 19.63 O (P Sucre, Huancayo, La Pla- ta): 04 ^h 14 ^m 79. Ep. (idem): 70°4 W, 20°8 S; Océano Pacífico, frente a la provincia chilena de Tarapacá. Δ _p km. Δ _{s-p} km. Sucre 570 720 Huancayo 1105 1400 La Plata 1985 2010? Temblor fuerte en Iquique, Chile.
		e	49.1	5	0.8 a 0.3		Pocas ondas; sin más detalles.	
		F	51					
		S?	22.36	5	+1.0			
Nov. 4 84	E	iP	4 19.04	5	i + 0.5; m 0.8		3 ondas.	Varias ondas. Entre 2 ondas.
		S?	22.58	5	0.7			
		L	24.9	4	0.2			
		M	24.94	4	+0.3			
		M	25.24	4	+0.3			
	N	M	25.83	4	+0.3			
		F	30					
		iP	4 19.01	5	i - 0.7; m 0.7		Serie.	
		S?	22.55	4	0.3		Grupo; principio de L no se nota.	
		M	25.25	4	-0.3		Serie.	
Nov. 4 85	E	e	9 03.60	~ 11	0.1		Indicios; con superp. 3°.	P: 08 ^h S: 08 ^h San Juan 43 ^m 98 La Paz 46.73 51 ^m 30 Florissant 48.05 53.53 O (P San Juan, La Paz, Flori- ssant): 08 ^h 41 ^m 02. Ep. (idem): 73°6 W, 8°6 N; Colombia. Δ _p km. Δ _{s-p} km. San Juan 1360 La Paz 2850 2975 Florissant 3750 3830 Sentido en Colombia. U. S. G. S. da O: 08 ^h 41 ^m 3 y Ep.: 72° W, 9° N.
		L	05.1	9	0.3			
			06.2	~ 26	0.3			
		M	06.39	11	+1.8			
		M	08.40	~ 20	+0.7			
	N	M	13.92	23	+0.4			
		M	15.17	15	+1.0			
		F	34					
		e	9 03.3	28	0.2			
		L	06.4	44	0.4	14		
Nov. 4 85	E	M	10.30	20	-0.6			
		M	11.33	18	-1.1			
		M	12.23	14	-0.7			
		M	15.00	9	-0.5			
		F	30					
		P	12 21.5	8	0.2			
		L	22.0	8	0.3			
		M	22.28	7	+0.9			
		M	23.14	5	+1.0			
		M	23.56	7	+0.7			
	M	25.27	5	+0.6				
	F	29						

Fecha y número	Componente	Fase	Hora	Período	Amplitud		Notas sobre las fases	Carácter de P y Notas sobre el epicentro			
					Aparente	Absol.					
			h m	c	mm	%					
Nov. 4 85	N	e	12 21.64	4	0.2		Indicios de una perturbación. Serie. Entre 3 ondas. Desde 25 ^m más débil; con fundamentales 20°.	Sucre	56.41	3460	
		L	22.1	7	0.2	1		La Plata L	—	5400:	
		M	23.12	5	-0.5	2		Ep. apr. (Δ Huancayo, La Paz, Sucre, La Plata): 73° W, 11° N; Colombia.			
		M	23.50	5	-0.8	3		U. S. C. G. S. da O: 11 ^h 57 ^m 2 y Ep.: 72° W, 8° N.			
		F	29								
Nov. 5 86	E	e	7 35.8	14	0.1		Grupo llamativo. Serie difusa sin M acentuada. 3 ondas débiles. Entre 4 ondas.	P: 07 ^h	S: 07 ^h		
		eL	38.1	28	< 0.1	1		Huancayo	15 ^m 22	—	
		F	44					La Paz	16.70	20 ^m 65	
		L	7 40.1	29	0.1	1		Sucre	17.43	21.88	
		M	41.78	21	-0.2	1		San Juan	17.35	21.85	
	N	L	7 40.1	29	0.1	1	O: 07 ^h	Δ km.			
		M	41.78	21	-0.2	1	Huancayo P	—	1670:		
		F	43				La Paz	11 ^m 61	2470		
							Sucre	11.71	2860		
							San Juan	11.57	2900		
Nov. 14 87	E	iP	14 07.48	7	$i + 19.8$; $m 35.0$		Muy claro. Nuevo grupo fuerte. Principio de la fase máxima. Con superposiciones 4°. Con superposiciones 7° y A 2.0 mm. Después más débil. Principio claro. Fundamentales 10°. Con superposiciones 3°. Con superposiciones 5°. Más claro que la fase anterior.	Condensación.			
		eS	08.24	8	2.0			P: 14 ^h	S: 14 ^h		
		L	09.7	8	2.1; m 4.9	9		Santiago	05 ^m 07	05 ^m 77	
		M	09.7	8	2.1	60		La Paz	09.03	12.17	
		M	10.53	8	-14.1	115		O(P Santiago, La Plata, La Paz): 14 ^h 05 ^m 18.			
		M	10.94	8	+26.0	75		Ep. (idem): 68°9 W, 32°7 S; provincia de Mendoza, Argentina.			
		M	12.74	12	+19.0	65		Δ_p km.	Δ_{s-p} km.		
		M	13.26	9	-15.0	45		Santiago	190	65	
		M	14.15	10	-11.0	25		La Plata	1040	950:	
		M	15.66	18	+5.0	11		La Paz	1800	1865	
		M	21.39	17	+2.2			Sentido desde La Serena hasta Concepción, Chile, y en Mendoza, Argentina.			
		F	15 00								
		N	iP	14 07.50	6	$i - 1.3$; $m 5.7$					
				08.93	14	2.8					
			eS	09.2	8	4.5					
	09.35		7	9.0							
L	09.6		7	11.7	50						
M	10.63	5	-16.0	70							

Fecha y número	Componente	Fase	Hora	Período	Amplitud		Notas sobre las fases	Carácter de P y Notas sobre el epicentro		
					Aparente	Absol.				
			h m	c	mm	%				
Nov. 14 87	N	M	14 11.24	5	-33.0	145	Desde 25 ^m más débil. Con superposiciones 3°.			
		M	12.93	5	-17.0	75				
		M	14.30	9	-9.0	35				
		M	17.41	10	+4.0	15				
		F	34							
		Z	iP	14 07.48	5	$i + 1.2$; $m 4.0$				
				07.98	10	0.4				
			L	09.8	10	0.5		8		
			M	10.08	5	-2.1		7		
			M	10.93	5	-2.7		9		
Nov. 19 88	E	M	11.28	5	-3.0	10	Nada de concreto. Algunas ondas muy débiles. Serie difusa. Comienzo de un nuevo grupo sin M acentuada.			
		M	12.68	5	-1.9	6				
		M	14.68	5	-0.4	1				
		F	21							
		eL	4 11.7	~30	0.1					
		M	15.0	~35	< 0.1	1				
		M	17.03	28	+0.1	1				
			27.8	30	0.1	1				
		F	45							
		Nov. 20 89	E	PP	23 41.0	4		0.3		Indicios. Serie difusa. Serie difusa. Entre serie difusa. Entre 2 ondas. Entre 10 ondas. Después más débil. Algunos indicios. 3 ondas. 1 onda llamativa. Ídem. Con fundamentales 40°. 3 ondas.
S.P.P.S	48.14			25	0.3					
SS	55.56			25	0.5					
L	24 06.6			~35	0.3	~7				
M	10.71			~40	-0.9	~30				
M	22.03			27	-1.1	14				
M	27.69			27	-0.9	12				
M	38.61			32	-0.5	10				
F	58									
N	P			23 36.0	~15	0.3				
	P'			39.6	5	0.3				
				40.34	15	1.3				
	PP			42.76	5	0.8				
	S.P.C.S			46.78	20	1.8				
	PS			49.84	18	3.1				
	SS	55.57	22	1.3						
Nov. 19 88	N						Riverview 16 ^m 32 20 ^m 47 Wellington 16.68 21.12 Manila 20.93 28.53 O(P Riverview, Wellington, Manila): 03 ^h 11 ^m 09. Ep. (idem): 168°5 E, 16°9 S; Nuevas Hébridas. Δ_p km. Δ_{s-p} km. Riverview 2555 2630 Wellington 2780 2855 Manila 6265 6035 U. S. C. G. S. da O: 03 ^h 11 ^m 3 y Ep.: 167° E 16° S.			
Nov. 20 89	E						Ivigtut 24 ^m 92 27 ^m 48 Ottawa 27.40 — Uccle 28.83 34.60 O (P Ivigtut, Ottawa, Uccle): 23 ^h 21 ^m 16. Ep. (idem): 73°2 W, 74°1 N; Bahía Baffin. Δ_p km. Δ_{s-p} km. Ivigtut 1750 1475 Ottawa 3190 — Uccle 4280 4120 Sentido en Upernivik, Groenlandia. U. S. C. G. S. da O: 23 ^h 21 ^m 5 y Ep.: 69° W, 73° N.			

Fecha y número	Componente	Fase	Hora		Período		Amplitud		Notas sobre las fases	Carácter de P y Notas sobre el epicentro	
			h	m	e		mm	μ			
Nov. 20 89	N	PPP > 180°	23	58.59	20		0.6		Algunas ondas.		
			24	03.01	15		0.5		Serie difusa.		
				17.0	52		0.9	45	4 ondas claras.		
				18.71	52		-1.0	50			
				22.06	34		-0.8	16	Principio de las ondas sinusoidales.		
				26.78	31		-1.8	30	Serie.		
				36.15	27		-1.4	16	Entre 2 ondas fuertes.		
				42.73	31		-0.9	14	Serie algo dudosa.		
				54.75	24		-0.6	5	Serie de A decreciente.		
				25 00							
Nov. 21 90	E	eS	24	04.6	~17		0.1		Con 5° superpuestas. De origen dudoso.	P: 23 ^h S: 23 ^h	
				16.3	35		0.3	7	Serie precedida de algunos indicios problemáticos.	Balboa 49 ^m 93 La Paz 54.55 St. Louis 55.08 *00.33	
				17.51	31		+0.4	7	Siguen series débiles de período poco regular que se pierden entre μ.	O (P Balboa, La Paz, St. Louis): 23 ^h 48 ^m 27. Ep. (idem): 85°08 W, 6°06 N; Pacífico, cerca de la isla Cocos.	
				25 05							
				24 03.7	24		0.3		Con superposiciones 7°.	Δ _p km. Δ _{s-p} km.	
				10.9	35		0.2	4	Serie llamativa.	Balboa 740 La Paz 3220 St. Louis 3590	
				17.8	29		0.1	1	Principio de un grupo regular.	Sentido en Panamá. U. S. C. G. S. da O: 23 ^h 48 ^m 5 y Ep.: 83° W, 8° N.	
				18.38	29		-0.2	3	Una serie.		
				23.56	20		-0.2	1	Después más débil.		
				45							
Nov. 22 91	E	eS	1	02.0	~7		0.1		Algunos indicios problemáticos.	P: 00 ^h S: 00 ^h	
				05						Balboa e 40 ^m 50 La Paz 46.48 251 ^m 08	
				1 06.0	20		0.1	<1	4 ondas; sin más detalles.	Datos insuficientes para el cálculo. Probablemente réplica del número anterior.	
				06.30	20		-0.2	1			
Nov. 22 92	E	eP	5	00.9	6		0.2		Serie llamativa entre μ.	P: 04 ^h S: 04 ^h	
				01.8	6		0.2			Balboa 53 ^m 20 La Paz 57.98 St. Louis 58.35 *03.00 *03.45	
				08.0	9		0.1		Algunas ondas llamativas, de período poco regular; con 5° superpuestas.	O (P Balboa, La Paz, St. Louis): 04 ^h 51 ^m 64. Ep. (idem): 85°06 W, 7°03 N; Pacífico, al NE de la isla Cocos.	
				20.7	35		0.2	7	2 ondas; después débiles 29° sin M acentuada.		
Nov. 22 92	N	P	5	00.82	4		0.2		Sobre fundamental 10°.		

Fecha y número	Componente	Fase	Hora		Período		Amplitud		Notas sobre las fases	Carácter de P y Notas sobre el epicentro			
			h	m	e		mm	μ					
Nov. 22 92	N	S	5	07.9	14		0.1		Con superposiciones 5°.	Balboa 690 La Paz 3265 St. Louis 3515	Δ _p km. Δ _{s-p} km.		
				23.5	29		0.1	14				5 ondas.	
				23.94	29		+0.2	3					
				45									
Nov. 23 93	E	e	3	25.1	22		0.2		2 ondas llamativas.	No observado en otras estaciones.			
				34.9	~45		0.3	~12	Algunas ondas mal definidas.				
				39.35	28		+0.3	4	Serie difusa. Desp. más débil.				
				4 05									
			N	e	3	25.2	25		0.2				Algunos indicios.
						29.5	14		0.2				Grupo llamativo.
						35.0	Irr.		0.2				
						39.20	~33		+0.3			~5	Entre 2 ondas fuertes; después más débil.
						42.89	~30		-0.5			~7	Ídem.
						4 05							
Nov. 23 94	E	eS	19	13.7	25		0.3		1 onda llamativa entre μ.	P: 18 ^h S: 18 ^h	Balboa 59 ^m 13 La Paz *03.82 St. Louis *04.10 *09.20		
				25.3	35		0.2	5	Serie. Claro hasta los 31 ^m .				
				26.66	31		+0.3	5					
				50									
			N	eS	19	13.6	22		0.3				2 ondas llamativas.
						25.4	~40		0.2			~6	2 ondas poco claras.
	M	31.24	25		-0.2	2	Después débil entre μ.	O (P Balboa, La Paz, St. Louis): 18 ^h 57 ^m 40. Ep. (idem): 86°03 W, 7°03 N; Pacífico al NE de la isla Cocos.					
Nov. 29 95	E	eP	5	12.3	5		0.3		Serie de ondas.	P: 05 ^h S: 05 ^h	Balboa 04 ^m 50 La Paz 09.30 Florissant 09.47 (16.83)		
				19.3	~24		0.2		5 ondas claras. Con 5° superpuestas.				
				30.7	35		0.2	5	Ondas sinusoidales.				
				33.01	25		+0.7	8	Entre 14 ondas.				
				35.72	25		+0.5	5	Entre 13 ondas; después débil.				
				55									
Nov. 29 95	N	eP	5	12.15	5		0.2		Serie de ondas regulares.	Δ _p km. Δ _{s-p} km.	Balboa 750 La Paz 3350 Florissant 3470 (5785)		
				19.19	5		0.2	3	ondas.				
				31.0	33		0.2	4	Serie difusa.				
				32.98	25		-0.4	4					
				35.85	25		-0.4	4	Ídem.				
				55									
				5 00.82	4								
				5 00.82	4								

Fecha y número	Componente	Fase	Hora	Período	Amplitud		Notas sobre las fases	Carácter de P y Notas sobre el epicentro		
					Aparente	Absol.				
			h m	c	mm	μ				
Dic. 2 96	E	eS	5 40.6	8	0.2		Algunos indicios. Serie sin M acentuada. Algunas ondas irregulares y llamativas. Entre serie. Poco antes, a los 9 ^m 6 algunos indicios poco claros. 4 ondas fuertes. 6 ondas con 8 ^e superpuestas. Entre serie irregular. 1 onda llamativa por su intensidad. Entre serie. Entre 3 ondas. Entre 4 ondas. Entre 3 ondas. Entre 3 ondas. Después de decreciendo paulatinamente.	P: 05 ^h S: 05 ^h Wellington 20 ^m 75 23 ^m 50 Melbourne 21.48 24.97 Riverview 21.80 25.78 O (P Wellington, Melbourne, Riverview): 05 ^h 17 ^m 10. Ep. (idem): 159° E, 52° S; Océano al N de las islas Macquarie. Δ _p km. Δ _{s-p} km. Wellington 1700 1590 Melbourne 2070 2110 Riverview 2250 2495 U. S. C. G. S. da O: 05 ^h 17 ^m 2 y Ep.: 161° E, 53° S.		
		L	6 01.4	35	0.1					
		F	20							
	N	eS	5 40.36	14	0.2					
		L	6 03.5	30	0.1					
		M	05.28	30	-0.2					
Dic. 2 97	E	PPP	20 09.88	5	0.3		Dilatación. P: 20 ^h S: 20 ^h Santiago 10 ^m 20 15 ^m 50 Sucre 12.27 18.03 La Paz 12.57 18.65 O: 20 ^h Δ km. La Plata 05 ^m 0 2100; Santiago 03.3 3650 Sucre 04.80 4110 La Paz 04.76 4420 Ep. apr. (Δ La Plata, Sucre, La Paz): 42° W, 50° S; Océano Atlántico, al NW de Sud Georgia.			
		S	13.02	14	7.8; m 25.8					
		L	15.3	65	~ 4.0					
		M	16.65	41	-10.5					
		M	23.03	21	-9.5					
		M	26.49	15	-8.0					
		M	31.67	16	-3.6					
		M	32.94	22	-3.0					
		M	34.87	14	+2.5					
		M	36.30	17	+1.8					
	M	37.55	14	+2.7						
	N	F	21 26							
		iP	20 09.52	7	i - 2.1; m 6.7					
		eS	13.1	17	2.5					
		L	15.5	~35	3.7					
		L	18.4	23	~ 6.0					
		M	18.92	~20	-7.0					
		M	21.87	21	-9.0					
M		22.57	21	-10.4						
Z	F	21 21								
	eP	20 09.54	3	< 0.1						
	eP	10.61	6	0.2						

Fecha y número	Componente	Fase	Hora	Período	Amplitud		Notas sobre las fases	Carácter de P y Notas sobre el epicentro		
					Aparente	Absol.				
			h m	c	mm	μ				
Dic. 2 97	Z	e	20 12.8	2	< 0.1		Grupo llamativo. Algunos indicios; con superposiciones 2 ^e . Serie. Desde 27 ^m más débil.			
		e	13.4	2	0.1; m 0.2					
		L	16.0	~30	< 0.1	< 15				
		M	19.10	~25	-0.2	~25				
		M	21.79	20	-0.2	15				
		F	52							
Dic. 5 98	E	L	3 21.2	5	0.2		Serie con 2 ^e superpuestas. Ídem. Algunos indicios. Con superposiciones < 1 ^e . Grupo con superposiciones < 1 ^e .			
		M	21.45	5	-0.4					
		F	22							
	N	e	3 21.0	10	0.1					
		L	21.3	5	0.4					
		M	21.50	5	-0.7					
Dic. 10 99	E	P	7 51.97	5	0.8		3 ondas claras; entre p. Santiago 40 ^m 97 50 ^m 77 La Paz 52.27 55.27 O (P Santiago, La Plata, La Paz): 07 ^h 49 ^m 01. Ep. (idem): 69° W, 29° S; provincia de Coquimbo, Chile. Δ _p km. Δ _{s-p} km. Santiago 410 400 La Plata E 1355 1270 La Paz 1500 1755 Sentido en Copiapó, Vallenar, Valle del Aconcagua y con más intensidad en Elqui, Chile.			
		S	54.17	5	0.4					
		eL	55.1	5	0.8					
		M	55.62	7	1.2					
		M	55.66	7	+2.9					
		M	56.34	7	+4.0					
		M	57.87	6	-3.1					
		M	8 00.89	~10	-1.2	~ 5				
		F	16							
		N	e	7 52.29	~ 4	0.2				
	S		54.20	6	0.2; m 1.2					
	e		54.56	5	0.3					
	L		55.3	~20	1.5	~ 9				
	M		55.91	17	+11.0	45				
	M		56.77	8	+3.8	15				
	M		57.43	14	+4.0	14				
	M		8 01.21	5	-1.2	5				
	Z	F	12							
e		7 52.31	2	< 0.1						
eS		54.24	2	< 0.1						
eL		55.3	3	0.1	< 1					
M		55.8	~10	0.1	~ 1-2					
M		56.61	2	+0.3	1					
M		56.77	3	-0.2	1					
F		8 03								

Fecha y número	Componente	Fase	Hora	Período	Amplitud		Notas sobre las fases	Carácter de P y Notas sobre el epicentro	
					Aparente	Absol.			
					mm	°			
Dic. 12 100	E	eP'	14 30.5	5	0.3		Gancho llamativo, problemático.	P: 14 ^h	S: 14 ^h
		S _c P _e P	33.86	7	1.1; m 2.5		Serie. Con fundamentales 10° y 14°.	Riverview 17 ^m 30	22 ^m 17
		SS	50.4	38	0.1		Algunas ondas débiles; demás fases no se notan.	Peichiko 20.00	27.02
	N	F	15 07					Honolulu 20.77	28.70
		eP'	14 30.4	5	0.2		Algunas ondas débiles; demás fases no se notan.	O (P Riverview, Peichiko, Honolulu): 14 ^h 11 ^m 05.	
		S _c P _e P	33.86	13	1.0; m 2.8		Ep. (idem): 152°4 E, 5°1 S; Nueva Britania, Oceanía.	Δ _p km.	Δ _{s-p} km.
	Z	L	15 18.7	35	< 0.1	< 2	6 ondas fuertes y claras con superposiciones 7°.	Riverview 3190	3240
		M	40.70	28	+ 0.1	1	Sin máxima acentuada.	Peichiko 5450	5410
		F	16 17				Entre algunas ondas.	Honolulu 6140	6370
	E	eP'	14 30.4	4	0.1		2 ondas llamativas.	Sentido en Rabaul, Nueva Britania.	
S _c P _e P		33.84	6	0.2		3 ondas fuertes; después más débil. Demás fases no se notan.	U. S. C. G. S. da O: 14 ^h 11 ^m 3 y Ep.: 151° E, 5° S.		
F		36							
Dic. 13 101	E	S?	21 44.09	21	0.6		2 ondas llamativas.	P: 21 ^h	S: 21 ^h
		L?	22 00.7	25	0.1	1	Algunos indicios; sobre la señal de hora. Sin M acentuada.	Tucson 27 ^m 18	20 ^m 08
	N	F	22					San Juan 30.83	36.55
		S?	21 44.3	14	0.3	1	1 onda llamativa.	La Paz 32.73	39.92
		L	22 00.2	29	0.2	3	Serie sin M acentuada.	O (P Tucson, San Juan, La Paz): 21 ^h 23 ^m 71.	
		M	07.09	28	- 0.4	5	Entre ~ 7 ondas.	Ep. (idem): 102°0 W, 19°8 N; Méjico.	
		M	11.68	25	- 0.2	2	Grupo débil.	Δ _p km.	Δ _{s-p} km.
		F	28					Tucson 1605	1620
	E	S?	21 44.3	14	0.3	1	1 onda llamativa.	San Juan 3820	4070
		L	22 00.2	29	0.2	3	Serie sin M acentuada.	La Paz 5520	5600
M		07.09	28	- 0.4	5	Entre ~ 7 ondas.	Sentido en Guadalajara, Méjico.		
M		11.68	25	- 0.2	2	Grupo débil.	U. S. C. G. S. da O: 21 ^h 23 ^m 7 y Ep.: 104° W, 19° N.		
Dic. 21 102	E	iP	4 34.26	5	1+7.5; m 8.1		Condensación.	P: 04 ^h	S: 04 ^h
		S	36.09	6	1.8; m 3.2	25	Serie.	Santiago 32 ^m 62	33 ^m 08
		L	36.8	7	6.0	30		La Paz 35.33	38.00
		M	36.82	7	+ 6.1	80		O (P Santiago, La Plata, La Paz): 04 ^h 31 ^m 85.	
		M	37.62	7	-17.2	85		Ep. (idem): 69°0 W, 31°0 S; prov. de San Juan, Argentina.	
		M	38.66	5	-17.0	35		Δ _p km.	Δ _{s-p} km.
		M	38.98	5	+ 7.1	25		Santiago 320	205
		M	41.03	5	- 5.0			La Plata 1100	1020
		F	52						

Fecha y número	Componente	Fase	Hora	Período	Amplitud		Notas sobre las fases	Carácter de P y Notas sobre el epicentro			
					Aparente	Absol.					
					mm	°					
Dic. 21 102	N	iP	4 34.27	6	i - 1.7; m 2.7		Ataque claro.	La Paz 1610	1540		
		S	36.11	5	2.2; m 4.5			Sentido en las provincias de San Juan y Mendoza, Argentina, y en Elqui, Illapel y el Valle del Aconcagua, Chile.			
		L	37.0	4	1.0	4					
		M	37.69	6	-19.0	80					
		M	38.03	6	-11.8	50					
		M	38.43	5	-15.0	65					
		M	39.96	7	+ 6.1	25					
		M	41.09	7	+ 3.8	16					
		M	41.46	5	- 3.1	13					
		F	59					Después fundamentales g°.			
Dic. 24 103	Z	iP	4 34.27	4	i + 0.8; m - 2.5						
		S	36.10	3	0.7						
		e	36.4	5	0.5			L no se destaca con claridad.			
			37.4	2	3.0	15		Principio de las ondas fuertes.			
		M	37.67	5	+ 3.7	12		Entre grupo fuerte.			
		M	37.75	5	- 3.8	13					
		M	38.46	4	- 1.7	6		1 onda fuerte.			
		F	45								
		Dic. 24 103	E	L	6 47.0	5	0.3	1	7 ondas claras.	P: 06 ^h	S: 06 ^h
				M	47.10	5	+ 1.0	5		Santiago 41 ^m 23	42 ^m 18
F	51							O: 06 ^h	Δ km.		
N	L			6 47.0	5	1.0	4	5 ondas claras.	Santiago 40 ^m 10	490	
	M			47.21	5	- 1.2	5		La Plata L	1450;	
Dic. 25 104	E	L	22 59.1	~14	0.3	1	Gancho llamativo. Después algunos más de período irregular.	Ep. apr. (Δ Santiago, La Plata): 74° W, 37° S; Océano Pacífico, frente a la provincia chilena de Concepción.			
		F	23 06					Sentido en Concepción, Chile.			
		N	L	22 59.0	~25	0.3	~ 3	Algunas ondas irregulares.	No observado en otras estaciones.		
			L	23 01.71	~25	0.4	~ 4	Más llamativo; sin M acentuada.			
			F	21							

TABLA II
2. notables durante el año 1933

Fecha	Componente	Período	Amplitud máxima		Fecha	Componente	Período	Amplitud máxima	
			Aparente	Absoluta				Aparente	Absoluta
		c	mm	μ			c	mm	μ
Enero 1 ^o -2	E	4-7	0.7	3	Junio 1 ^o -3	E	4-7	0.3	1
	N	4-7	0.5	2		N	4-7	0.3	1
Enero 10-12	E	4-7	0.5	2	Junio 7-8	E	7-10	0.3	1
	N	4-7	0.3	1		N	7-10	0.1	<1
Enero 17-22	E	4-7	0.4	2	Junio 12-14	E	4-7	0.3	1-2
	N	4-7	0.3	1		N	4-7	0.3	1
Enero 26-27	E	4-7	0.5	2	Junio 17-21	E	4-7	0.4	2
	N	4-7	0.4	2		N	4-7	0.4	2
Febrero 2-4	E	4-7	0.7	3	Junio 21-24	E	4-10	0.4	2
	N	4-7	1.0	4		N	4-10	0.3	1
Febrero 13-14	E	4-7	0.4	2	Junio 25-27	E	4-7	0.5	2-3
	N	4-7	0.3	1		N	4-7	0.4	2
Febrero 23-24	E	7-10	0.3	1	Junio 28-2	E	10-14	0.4	2
	N	7-10	0.3	1		N	10-14	0.4	2
Marzo 1 ^o -2	E	4-7	0.3	1	Julio 7-9	E	4-7	0.6	3
	N	4-7	0.2	1		N	4-7	0.3	1
Marzo 11-12	E	4-7	0.4	2	Julio 12-14	E	4-10	0.8	3-4
	N	4-7	0.3	1		N	4-10	0.9	4
Marzo 14-15	E	4-7	0.5	2	Julio 22-24	E	7-10	0.3	1
	N	4-7	0.3	1		N	7-10	0.1	<1
Marzo 22-23	E	4-7	0.3	1	Julio 25-27	E	7-14	0.5	2-3
	N	4-7	0.3	1		N	7-14	0.1	<1
Marzo 28-30	E	4-7	0.4	2	Julio 30-31	E	4-7	0.5	2-3
	N	4-7	0.3	1		N	4-7	0.3	1
Abril 1 ^o	E	4-7	0.4	2	Agosto 2-5	E	7-10	0.3	1
	N	4-7	0.3	1		N	7-10	0.1	<1
Abril 3-4	E	7-10	0.3	1	Agosto 7-8	E	7-10	0.3	1
	N	7-10	0.2	1		N	7-10	0.2	<1
Abril 11-13	E	4-7	0.4	2	Agosto 8-10	E	4-7	0.6	3
	N	4-7	0.3	1		N	4-7	0.5	2
Abril 14-17	E	4-7	0.5	2	Agosto 18	E	10-14	0.3	1
	N	4-7	0.4	2		N	10-14	0.1	<1
Mayo 5-6	E	7-12	0.2	1	Agosto 30-31	E	4-10	0.3	1-2
	N	7-12	0.2	1		N	4-10	0.2	<1
Mayo 7	E	4-7	0.4	2	Septiembre 16-17	E	7-10	0.3	1
	N	4-7	0.4	2		N	7-10	0.1	<1
Mayo 9	E	7-10	0.3	1	Septiembre 18-19	E	4-7	0.6	3
	N	7-10	0.2	1		N	4-7	0.3	1
Mayo 23-27	E	4-7	0.3	1	Septiembre 23-24	E	4-7	0.5	2-3
	N	4-7	0.2	1		N	4-7	0.4	2
Mayo 28-29	E	4-7	1.0	5	Octubre 3-4	E	10-14	0.2	<1
	N	4-7	0.4	2		N	10-14	0.2	<1

Fecha	Componente	Período	Amplitud máxima		Fecha	Componente	Período	Amplitud máxima	
			Aparente	Absoluta				Aparente	Absoluta
		c	mm	μ			c	mm	μ
Octubre 8-10	E	4-7	0.5	2-3	Noviembre 27-30	E	4-7	0.3	1
	N	4-7	0.4	2		N	4-7	0.3	1
Octubre 16	E	10-14	0.2	<1	Diciembre 3-4	E	4-7	1.0	5
	N	10-14	0.1	<1		N	4-7	0.8	3-4
Octubre 21-22	E	4-7	0.3	1-2	Diciembre 6-7	E	4-7	1.0	5
	N	4-7	0.3	1		N	4-7	0.6	2-3
Octubre 28-2	E	4-7	0.7	3-4	Diciembre 9-11	E	4-7	0.3	1
	N	4-7	0.5	2		N	4-7	0.3	1
Noviembre 7-8	E	4-7	0.5	2-3	Diciembre 14-16	E	4-10	0.5	2-3
	N	4-7	0.4	2		N	4-10	0.3	1
Noviembre 23-25	E	4-7	0.3	1	Diciembre 22-24	E	4-7	0.5	2-3
	N	4-7	0.3	1		N	4-7	0.4	2

Notas sobre los sismogramas y cálculos

Nº 1. Temblor de escasa intensidad, de registro no muy claro, con epicentro en el Pacífico, cerca del S de Chile, a unos 2500 kilómetros de La Plata.

Nº 2. Fase L, poco desarrollada, de un telesismo producido en Alaska, a 13500 kilómetros de distancia epicentral.

Nº 3. Registro parecido al anterior correspondiente a un telesismo de la región antipódica, sentido en el Japón.

Nº 4. Ondas L de un temblor chileno, de poca intensidad.

Nº 5. Prefases bastante detalladas de un telesismo que se produjo en la India, a una distancia epicentral de 15400 kilómetros.

Nº 6. Pocos detalles de un telesismo, producido a unos 15000 kilómetros de distancia epicentral, en la Oceanía.

Nº 7. Temblor de intensidad regular con foco probable en el Sud Pacífico, cerca del extremo Sud del continente Americano, a unos 3200 kilómetros de distancia epicentral. P es muy clara, pero las demás fases no se destacan con mucha claridad.

Nº 8. Telesismo con foco en el Indico a unos 10000 kilómetros de La Plata, del cual se registraron bastantes detalles.

Nº 9. Temblor débil, chileno, de fases regulares.

Nº 10. Registro parecido al anterior, pero con amplitudes un poco más grandes, fué sentido también en Chile.

- Nº 11. Fase L poco desarrollada de un telesismo con foco en la región de las islas Samoa, a unos 11000 kilómetros de distancia epicentral.
- Nº 12. Ondas L de un temblor débil, andino.
- Nº 13. Temblor chileno, algo más fuerte que el anterior y por lo tanto registrado más detalladamente que aquél.
- Nº 14. Temblor argentino de intensidad no muy considerable, sentido en una vasta zona de las provincias al NW de la República. El registro no comprende sino P y L.
- Nº 15/16. Registros poco detallados de dos temblores chilenos de poca intensidad.
- Nº 17. Temblor fuerte, registrado con claridad en todas las fases importantes, el cual causó algunos perjuicios en la zona salitrera de Chile. El buen desarrollo de la fase L no hace probable un hipocentro extremadamente profundo.
- Nº 18. Ondas L de un temblor débil chileno.
- Nº 19. Fase principal de una perturbación sísmica, producida a mayor distancia epicentral, sin posibilidad de precisar el foco porque el fenómeno no fué registrado en otras estaciones.
- Nº 20. Varios detalles, tanto de las prefases como de L, de un telesismo producido a 17700 kilómetros de distancia epicentral, destructor en el Japón.
- Nº 21. Pocas ondas L de un temblor débil andino, no observado en otras estaciones.
- Nº 22. Algunas ondas de las prefases de un telesismo de la región antipódica, sentido en el Japón.
- Nº 23. Fase principal de un telesismo con foco en el Mediterráneo, a unos 12000 kilómetros de distancia epicentral.
- Nº 24. Ondas L de una perturbación sísmica, con foco en Oceanía, a unos 11500 kilómetros de distancia epicentral.
- Nº 25. Fase principal de un temblor a mayor distancia epicentral, no observado en otras estaciones.
- Nº 26. Ciertos detalles de un telesismo con foco en Kamchatka, a 16000 kilómetros de La Plata.
- Nº 27. Registro parecido al anterior, originado por un telesismo a 16800 kilómetros de distancia epicentral, en la región de las islas Filipinas.
- Nº 28. Muchos detalles de un temblor de intensidad regular, producido en el S-Atlántico.
- Nº 29. Temblor andino de intensidad regular, registrado bastante detalladamente en todas las componentes.
- Nº 30. Ondas L de un temblor mejicano, producido a 7800 kilómetros de distancia epicentral.
- Nº 31. Fase L de un temblor débil, boliviano.
- Nº 32. Temblor débil chileno, registrado esencialmente en su fase principal.
- Nº 33. Ondas L de un telesismo producido en Nueva Guinea, a 15500 kilómetros de La Plata.

- Nº 34. Algunos detalles de las prefases y ondas L de un temblor de intensidad regular, producido en el Sud Pacífico.
- Nº 35. Pocas ondas L de un temblor débil, andino, no registrado en otras estaciones.
- Nº 36. Telesismo con epicentro en Alaska, a una distancia epicentral de 13800 kilómetros. El registro comprende algunas prefases y numerosas ondas L.
- Nº 37. Algunos detalles de un temblor débil, andino, producido, según los cálculos, en Bolivia.
- Nº 38. Pocas ondas L de un temblor a mayor distancia epicentral. Los pocos datos a mi disposición, de otros observatorios, no permiten un cálculo del epicentro.
- Nº 39. Registro bastante detallado de un temblor regular, a 5300 kilómetros de distancia epicentral, sentido en la región de Panamá.
- Nº 40. Ciertos detalles, de un temblor que resultó destructor en Méjico, a 7300 kilómetros de La Plata.
- Nº 41. Ondas L de un temblor débil, chileno.
- Nº 42. Fase L de una perturbación sísmica producida a mayor distancia de La Plata, pero no observada en otras estaciones.
- Nº 43. Registro regular de un temblor de intensidad regular, con foco en el Atlántico Central, a 5900 kilómetros de distancia de La Plata.
- Nº 44. Pocos detalles de un temblor débil, andino.
- Nº 45. Registro un poco más completo que el anterior relativo a un temblor chileno-argentino.
- Nº 46. Temblor andino de poca intensidad registrado bastante detalladamente.
- Nº 47. Algunos detalles problemáticos de un temblor cuya primera prefase fué registrada también en La Paz.
- Nº 48. Numerosos detalles de un telesismo de la región antipódica, producido a 17600 kilómetros de distancia epicentral en el Japón.
- Nº 49. Temblor débil, cordobés, registrado también en La Paz, de fases poco claras.
- Nº 50. Telesismo con epicentro en Sumatra, a 15200 kilómetros de distancia de La Plata, del cual se registraron bastantes detalles.
- Nº 51. Temblor chileno, de escasa intensidad y fases no muy nítidas.
- Nº 52. Temblor de intensidad regular, con foco en el Sud Atlántico del cual se registraron P y L.
- Nº 53. Telesismo que se produjo en las islas Aleucianas, a 14300 kilómetros de distancia epicentral. Además de L, registráronse algunos detalles de las prefases.
- Nº 54. Temblor débil, peruano, de fases no muy nítidas.
- Nº 55. Registro parecido al anterior de un temblor débil producido en la costa del Perú central.

- Nº 56. Algunas ondas L de un temblor débil, andino, no observado en otras estaciones.
- Nºs 57/58. Dos temblores débiles, chilenos, cuyo registro se limitó esencialmente a las fases L.
- Nº 59. Algunas ondas L de un temblor de poca intensidad, con epicentro calculado en el Perú.
- Nº 60. Temblor sentido en el Norte de Chile. El poco desarrollo de la fase L hace muy probable un hipocentro de profundidad excepcional.
- Nº 61. Temblor chileno, de intensidad poco considerable, registrado con todas sus fases.
- Nº 62. Fase L de un temblor débil, chileno.
- Nº 63. Registro bastante detallado de un terremoto destructor, con foco en la provincia de Szechwan, China, a 18200 kilómetros de distancia epicentral.
- Nº 64. Temblor fuerte con epicentro en el Sud Atlántico, en la región de las islas Sandwich, registrado con todas sus fases esenciales.
- Nº 65. Temblor de intensidad regular, con epicentro en Bolivia. Fueron registradas con mucha claridad las fases preliminares, mientras que L quedó poco desarrollada, de modo que se trata otra vez de la manifestación de un foco profundo.
- Nº 66. Registro bastante detallado de un telesismo, producido a una distancia epicentral de 11000 kilómetros en la Oceanía.
- Nº 67. Temblor débil de fases algo dudosas, con foco en el Océano Pacífico, a 2000 kilómetros de la costa chilena.
- Nº 68. Fase L de un temblor débil chileno.
- Nº 69. Algunas ondas L, registradas en N solamente, de un temblor a mayor distancia epicentral, cuyo foco no puede calcularse debido a la falta de observaciones de otras estaciones.
- Nº 70. Fase L de un temblor débil chileno, observado también en Santiago de Chile.
- Nº 71. Algunas ondas de L de un temblor de poca intensidad, a mayor distancia epicentral, no observado en otras estaciones.
- Nº 72. Ciertos detalles de un temblor de poca intensidad con foco calculado en el Perú.
- Nº 73. Registro bastante detallado de un temblor fuerte que se produjo en la costa de Ecuador.
- Nº 74. Otro temblor ecuatoriano de menos intensidad que el anterior, pero de fases claras en N.
- Nº 75. Fase P de un temblor a mayor distancia epicentral, en el Océano Pacífico, en la región de la isla Wailu.
- Nº 76. Fase L de un temblor débil, con foco calculado en el Pacífico, cerca de Chile.
- Nº 77. Temblor débil, andino, no registrado en otras estaciones, de fases poco claras.
- Nº 78. Registro bastante completo de un temblor débil, chileno.
- Nº 79. Temblor débil, andino, del cual no se registró sino la fase L.

- Nº 80. Temblor fuerte, sentido en el Norte de Chile, de registro claro en todas las componentes, con epicentro calculado en el NW de Argentina.
- Nº 81. Temblor fuerte producido en la región subantártica, al Sur del continente sudamericano. El registro del fenómeno es bastante detallado.
- Nº 82. Pocos detalles de un temblor, registrado deficientemente también en las demás estaciones vecinas; de modo que no es posible un cálculo del epicentro.
- Nº 83. Temblor de poca intensidad, sentido en el Norte de Chile, de P y L claras, pero S dudosa.
- Nº 84. Temblor de intensidad regular, sentido en Colombia. El registro se limita esencialmente a la fase L.
- Nº 85. Probable réplica del número anterior, del cual no se registró sino L.
- Nº 86. Pocas ondas L, de un temblor débil, con epicentro calculado en el Pacífico, cerca de Ecuador.
- Nº 87. Temblor fuerte andino, sentido en Mendoza, Argentina y una vasta zona de Chile de fases bastante claras.
- Nº 88. Fase L, registrada en N solamente de un telesismo que se produjo en la Oceanía, a 12500 kilómetros de La Plata.
- Nº 89. Registro detallado de un telesismo producido en la Bahía Baffin y sentido en Groenlandia, a una distancia epicentral de 12200 kilómetros.
- Nº 90. Temblor de intensidad no muy considerable que se produjo en el Pacífico cerca de la isla Cocos, al S de la América Central. El registro se limita esencialmente a la fase L.
- Nº 91. Pocos detalles de un temblor a mayor distancia epicentral, cuyo foco es probablemente, parecido al anterior.
- Nº 92. Fases esenciales de un temblor de foco parecido a los dos anteriores.
- Nº 93. Varios detalles de un temblor a mayor distancia epicentral, no observado en otras estaciones.
- Nºs 94/95. Otros dos temblores con epicentro en la región de las islas Cocos, como los números 90/92, habiéndose registrado el número 95 más detalladamente que el número 94.
- Nº 96. Telesismo a unos 9500 kilómetros de distancia epicentral, con epicentro al N de las islas Macquarie. El registro se limita a S y L.
- Nº 97. Registro bastante detallado de un temblor fuerte que, según los cálculos, se produjo en el Sud Atlántico.
- Nº 98. Algunas ondas L de un temblor andino, no observado en otras estaciones.
- Nº 99. Temblor chileno, bastante fuerte, registrado con todas sus fases.

Nº **100**. Prefases y algunos detalles de L, de un telesismo que se produjo en la Oceanía, a 14500 kilómetros de distancia epicentral.

Nº **101**. Temblor mejicano de intensidad poco considerable, de fases no muy claras.

Nº **102**. Registro completo de un temblor andino de bastante intensidad.

Nº **103**. Fase L de un temblor débil, chileno.

Nº **104**. Algunas ondas L de una perturbación sísmica a mayor distancia epicentral, no observada en otras estaciones.